

C6200–Biochemické metody

OŠC\_ELEKTRONOVÁ  
SPEKTRA MOLEKUL

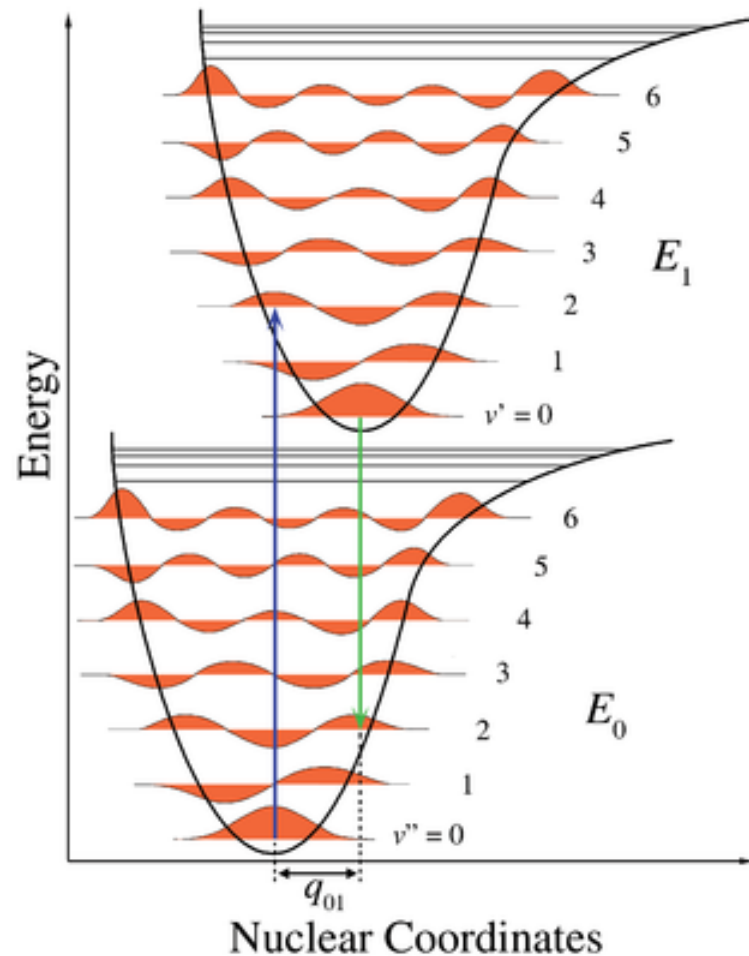
Petr Zbořil

# Elektronová spektra molekul

Velké množství  
možných přechodů

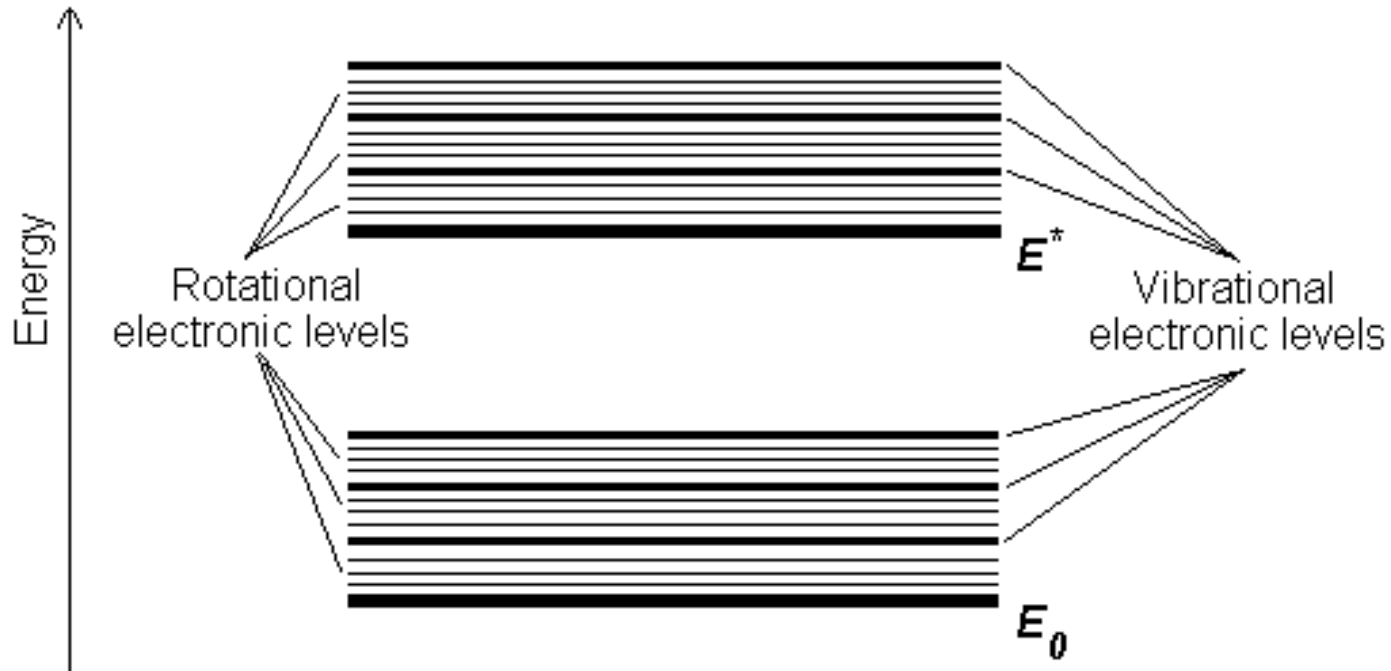
Franck-Condonův  
princip

= elektronové přechody  
rychlé  
= hmotné jádro, pomalé  
Nemění se geometrie



# Jablonskiho diagramy

Příspěvky vibrací a rotací v molekule

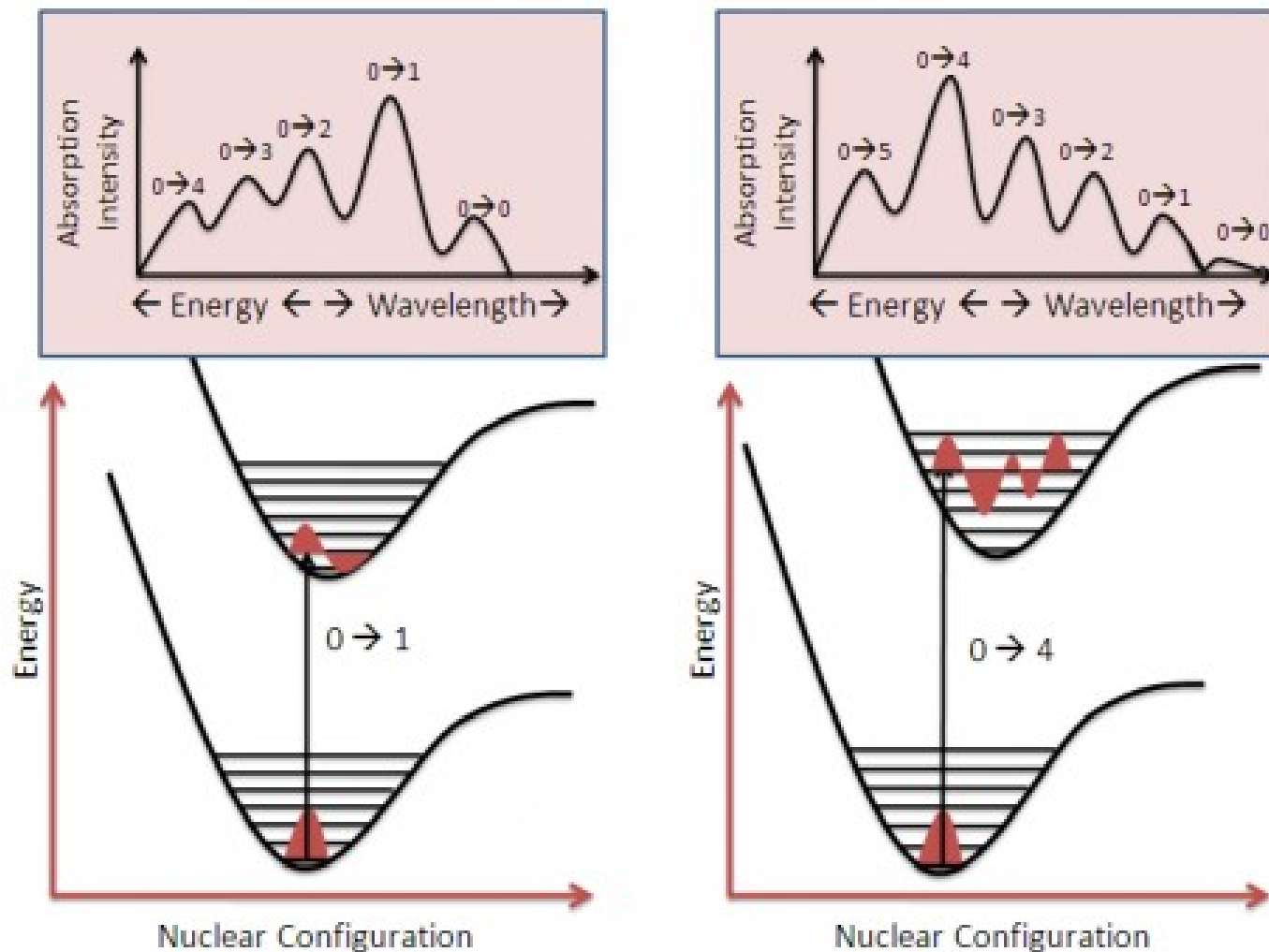


Resonanční podmínka  $\Delta E = h\nu$

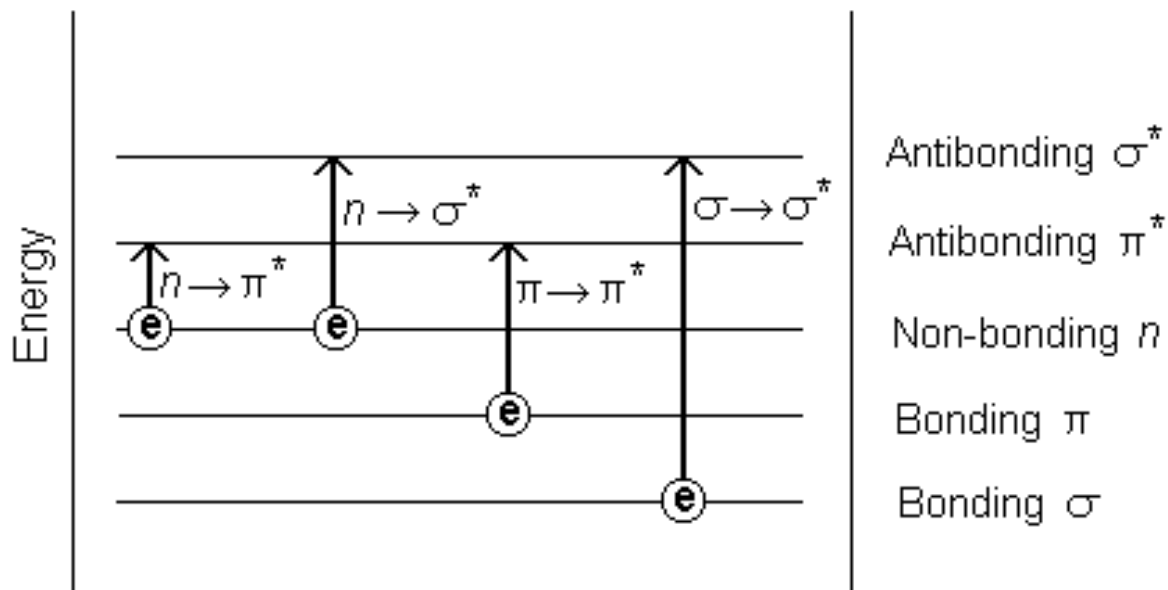
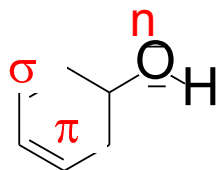
$\Delta E = \Delta E_{\text{el}} + \Delta E_{\text{vib}} + \Delta E_{\text{rot}}$  – velké množství možností

Poloha pásu –  $\lambda = f(\Delta E)$ , výška – pravděpodobnost přechodu

# Pásová spektra molekul



# Typy přechodů

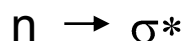


Posice pásu –  $\Delta E = hc/\lambda$

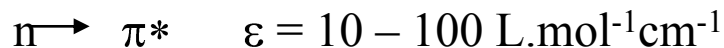
## Energie přechodů



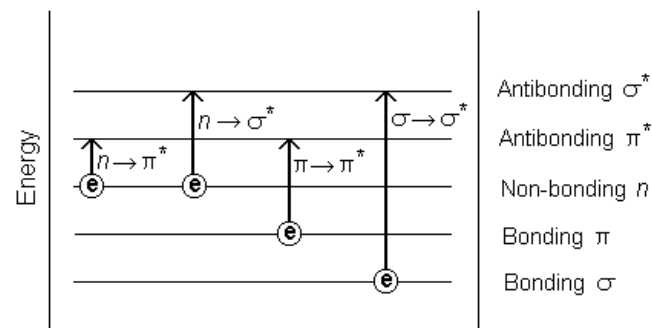
příklad C-H: vysoké energie, odpovídá 125 nm



méně časté, energie odpovídá 150 – 250 nm

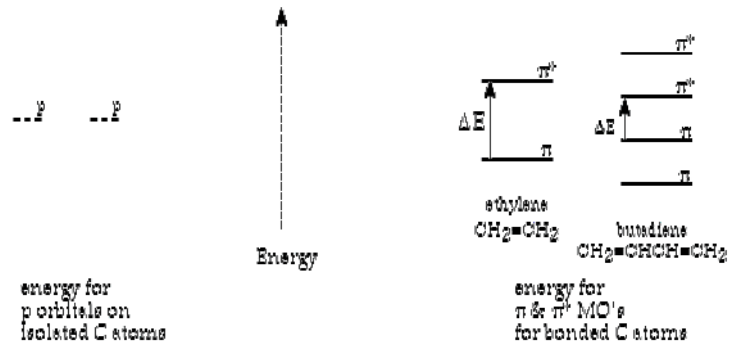
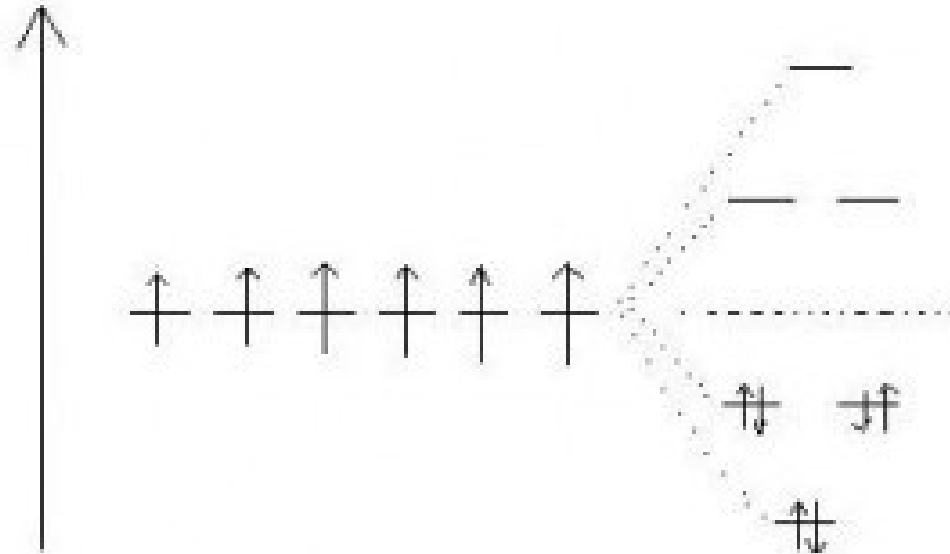


nejobvyklejší případ, energie odpovídá 200 – 700 nm



Charge transfer přechody – anorganické komplexy, interakce mezi elektron. donorem a akceptorem – vysoký mol. abs. koeficient

# Konjugované systémy – štěpení hladin

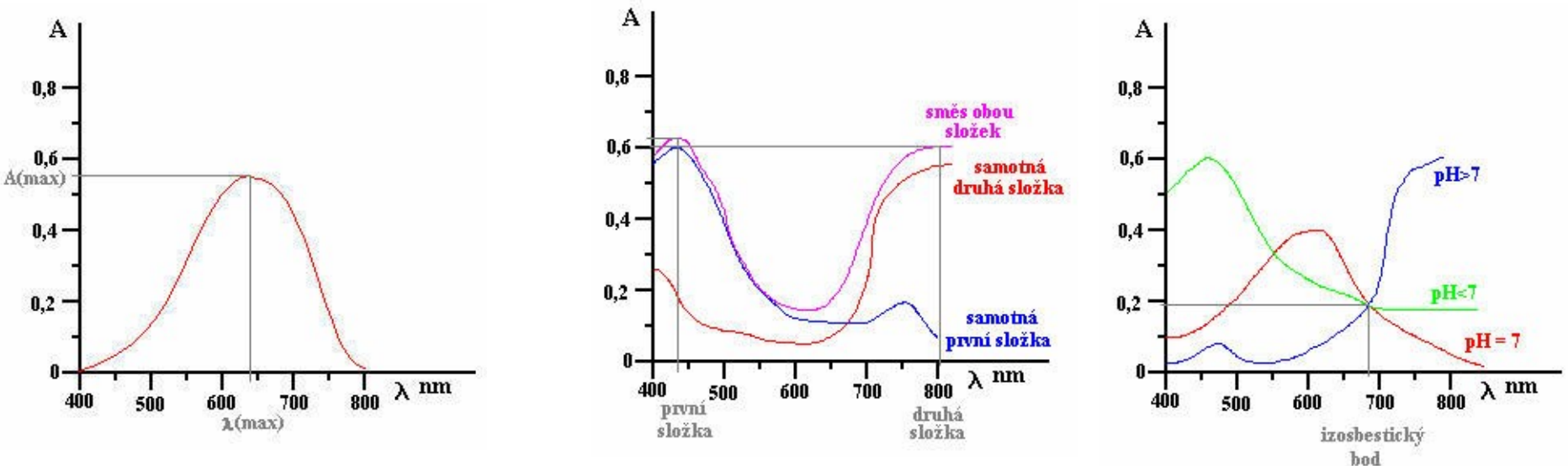


Compound name	Condensed formula	Wavelength absorbed
Ethene, ethylene	$\text{CH}_2::\text{CH}_2$	171 nm
1,3-butadiene	$\text{CH}_2::\text{CHCH}::\text{CH}_2$	217 nm
Trans 1,3,5-hexatriene	$\text{CH}_2::\text{CHCH}::\text{CH}$ $\text{CH}::\text{CH}_2$	274 nm
$\beta$ -carotene	see structure below	425 nm

# Gaussovský tvar absorpční křivky

Četnost přechodů – velikost absorpce  $\approx$  pravděpodobnost

Aditivita – různé chromofory (formy) ve vzorku



# Chromofory

- Skupiny odpovědné za absorpci záření
  - Přítomné elektrony – orbitaly – přechody
  - Poloha ( $\lambda$ ) a výška maxima absorpčního pásu
- Relativita pojmu
  - Více chromoforů v molekule
  - Makromolekuly – bílkoviny mají více možností
- Další vlivy – auxochromy
  - Skupiny ovlivňující polohu ( $\lambda$ ) a výšku maxima absorpčního pásu

# Auxochromy

- Skupiny posouvající  $\lambda$  maxima
  - Bathochromní efekt – tzv. „červený posun“
  - Hypsochromní efekt – tzv. „modrý posun“
- Skupiny posouvající výšku maximální absorpce
  - Hyperchromní efekt – zvýšení maxima
  - Hypsochromní efekt – snížení maxima
- Analogické názvy pro efekty vyvolené změnami prostředí apod.

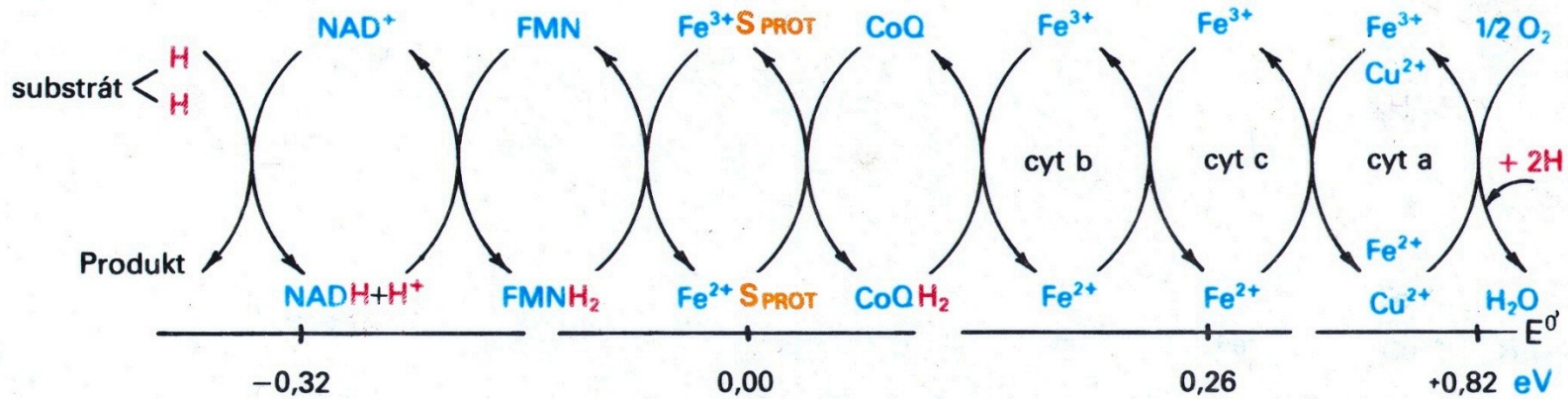
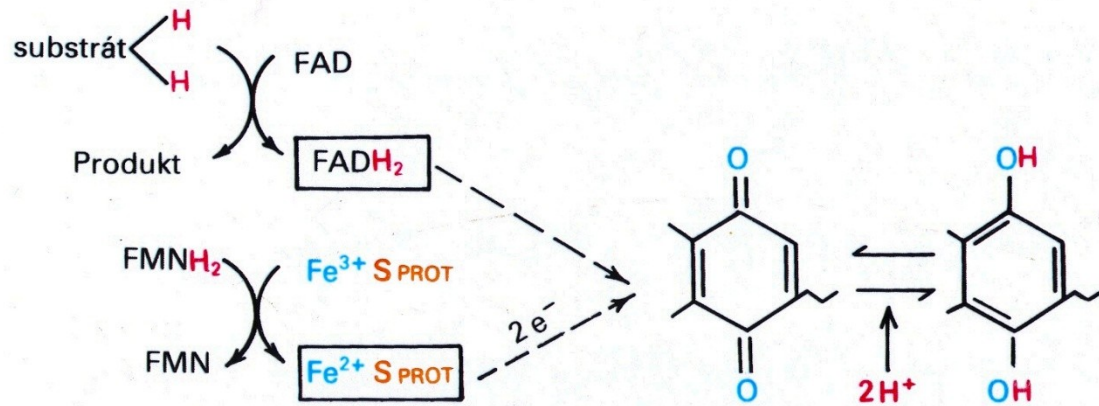
# Biochemicky významné chromofory

Významné chromofory v biochemii

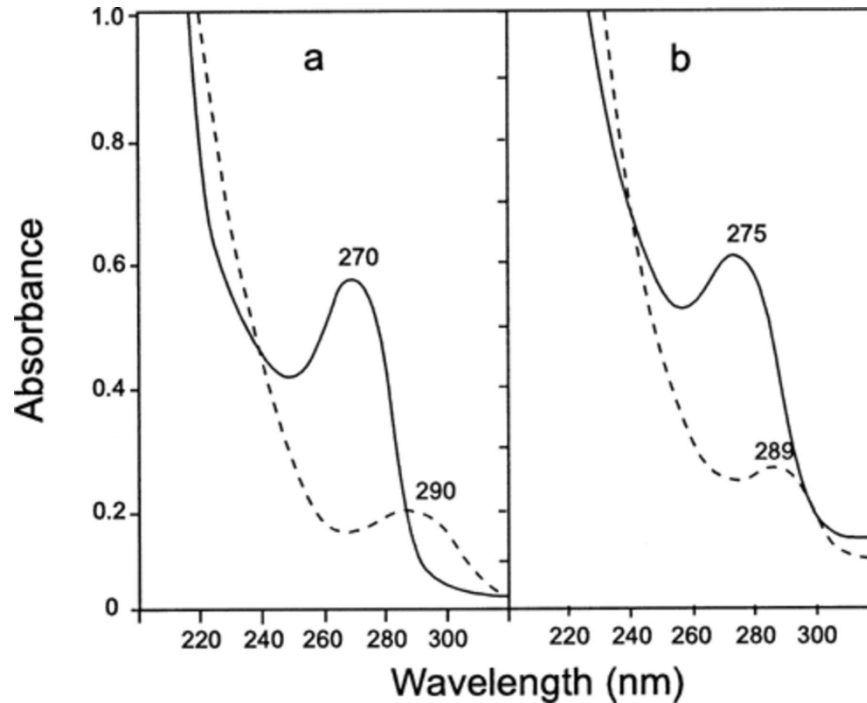
	Amax (nm)	mol.abs koef. (l/mol.cm)
-CONH-	225	400
-S <sup>-</sup>	235	3280
-S-S-	250	500
-fenyl	206 261	8000 220
-hydroxyfenyl	222 270	8000 1450
-hydroxyfenolát	235 287	9300 2600
Indol	220 280	3400 5500
Imidazol	211	6000
Guanin	256	12200
Adenin	260	14900
Cytosin	267	6100
Thymin	265	7900
NADH	340	6220
Hem	410	12000
Retinyl	453	50000
FAD	450	14000
Cytochromy	500-600	
Chlorofyly	630-650	

# Ovlivnění spekter

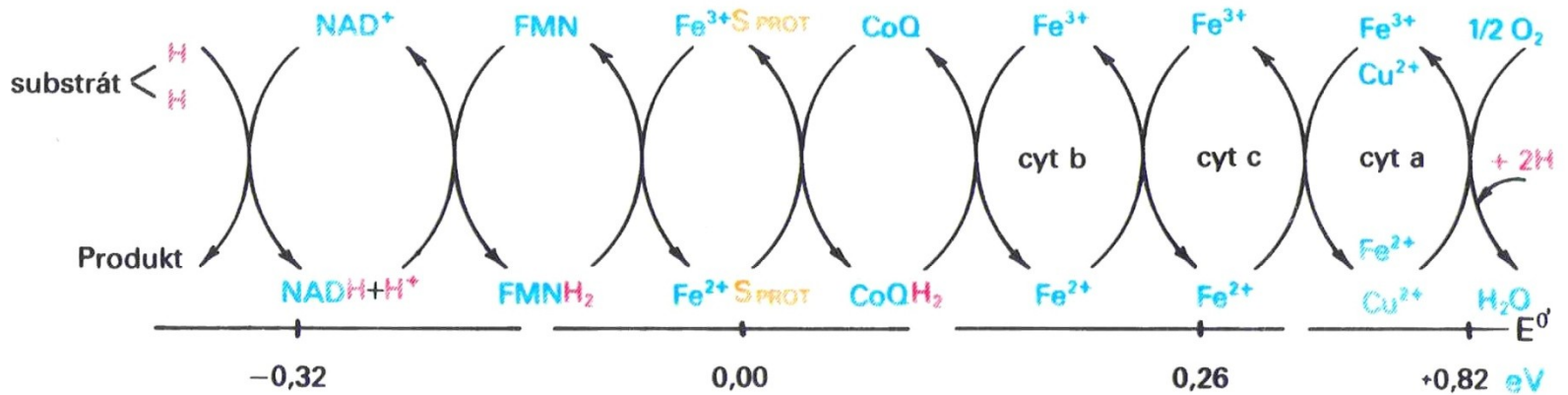
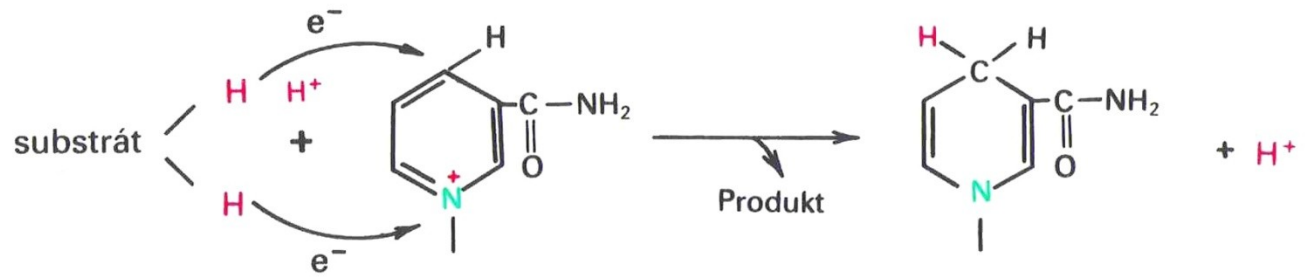
- Vnitřní vlivy – elektronová struktura
  - Oxidoredukce
  - Acidobazické děje
- Vnější vlivy
  - Interakce s prostředím – polarita, ionty

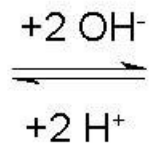
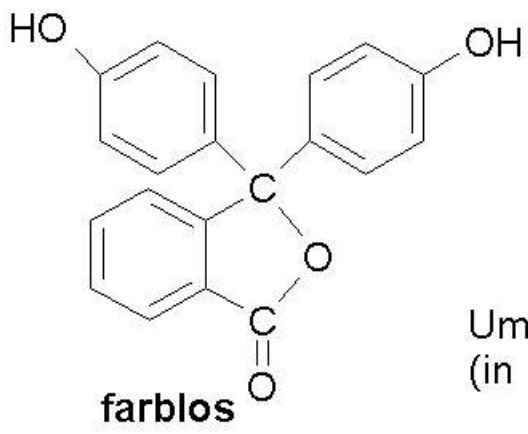


# Spektra UQ



Ultraviolet absorption spectra of (a) 2-octaprenyl-3-methyl-6-methoxy-1,4-benzoquinone and (b) ubiquinone in ethanol, before and after reduction with sodium borohydride. Solid line, quinone; broken line, quinol





Umschlagpunkt: 8,2-10  
(in pH-Einheiten)

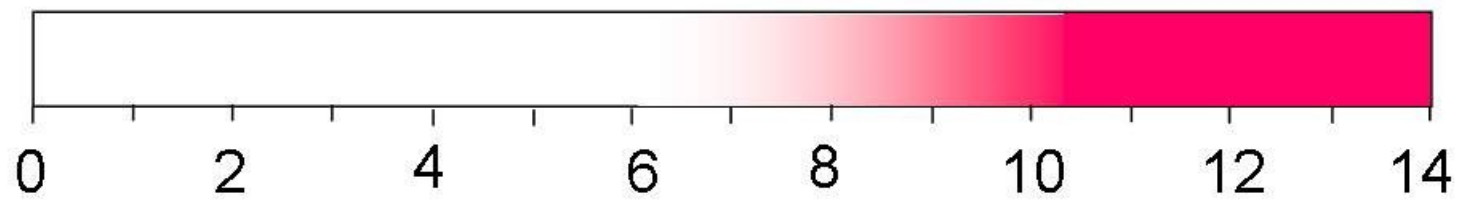
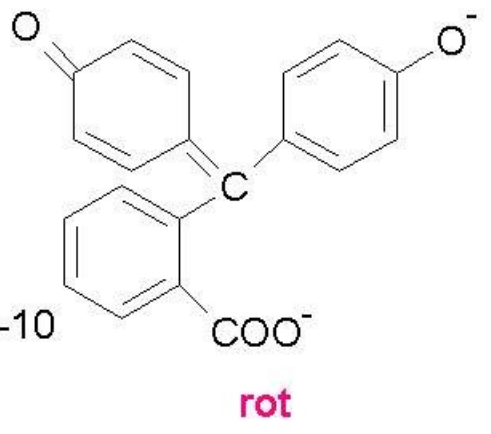
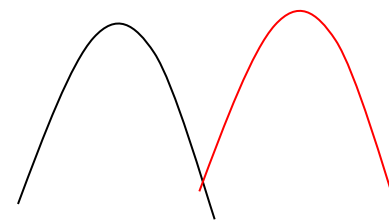


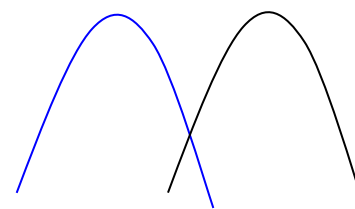
Abb.: Dissoziation von Phenolphthalein (pKs 9,4)

## Vliv polarity na absorpční maximum

$\pi \rightarrow \pi^*$  červený posun v polárním prostředí  
Zvýšená solvatace excitovaného stavu  
snižuje jeho energii



$n \rightarrow \pi^*$  modrý posun v polárním prostředí  
Zvýšená solvatace n páru snižuje  
energii n orbitalu



# Význam spektrofotometrie

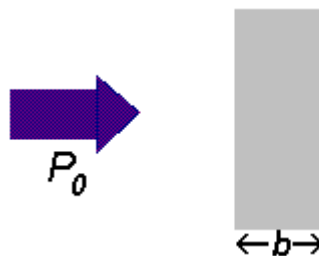
- Stanovení koncentrace látek
- Stanovení změn koncentrace v čase
- Kvantifikace

$\Phi$  – světelný tok

$\Phi$  a  $\Phi_0$  - prošlé a přicházející světlo  
též  $I$  a  $I_0$

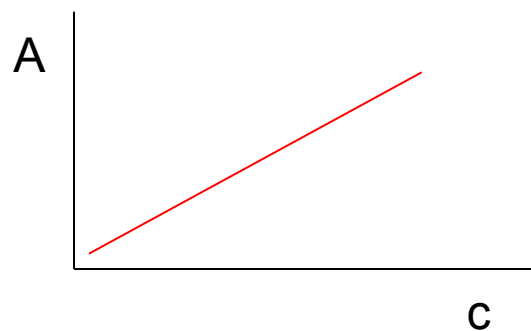
# Lamber-Beerův zákon

$$A = \varepsilon \cdot c \cdot b$$



Využití pro kvantitativní analýzu:

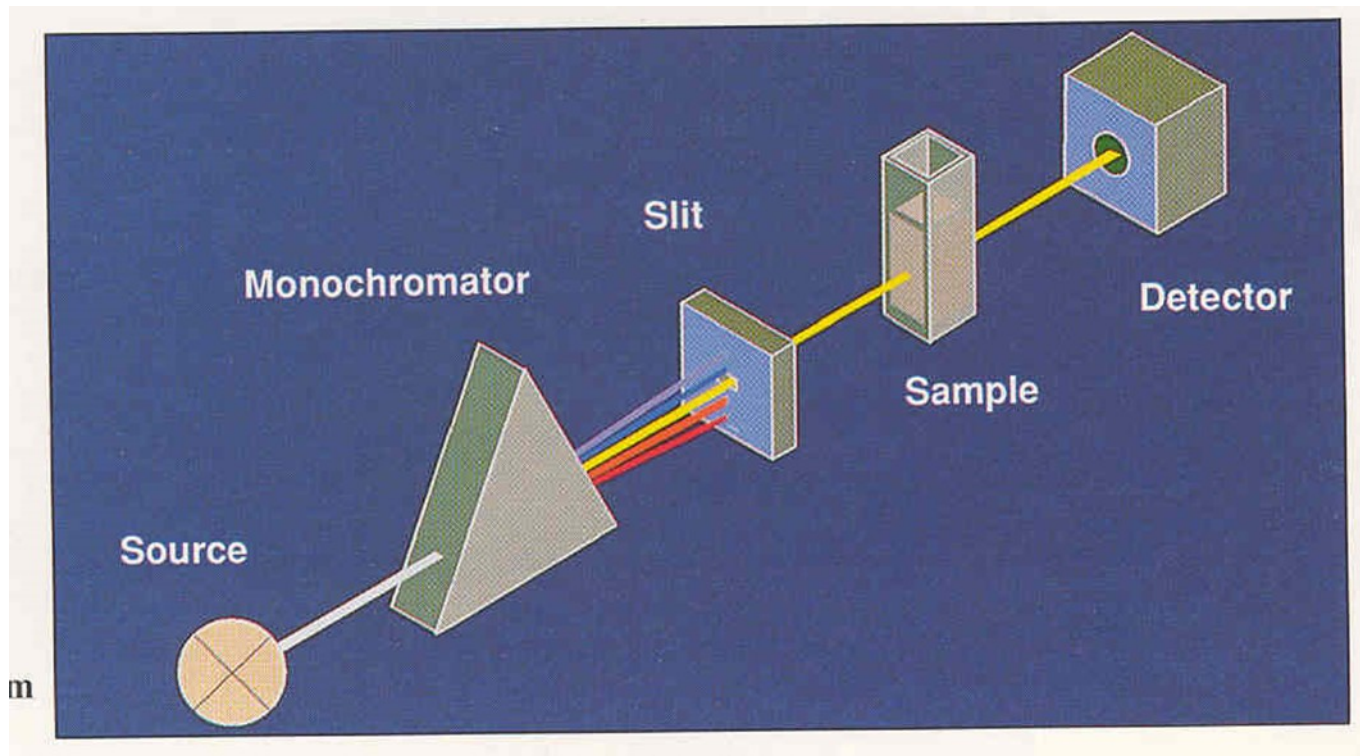
- 1) Při znalosti  $\varepsilon$ :  $c = A/\varepsilon \cdot d$
- 2) Kalibrační přímka



# Kvantitativní parametry

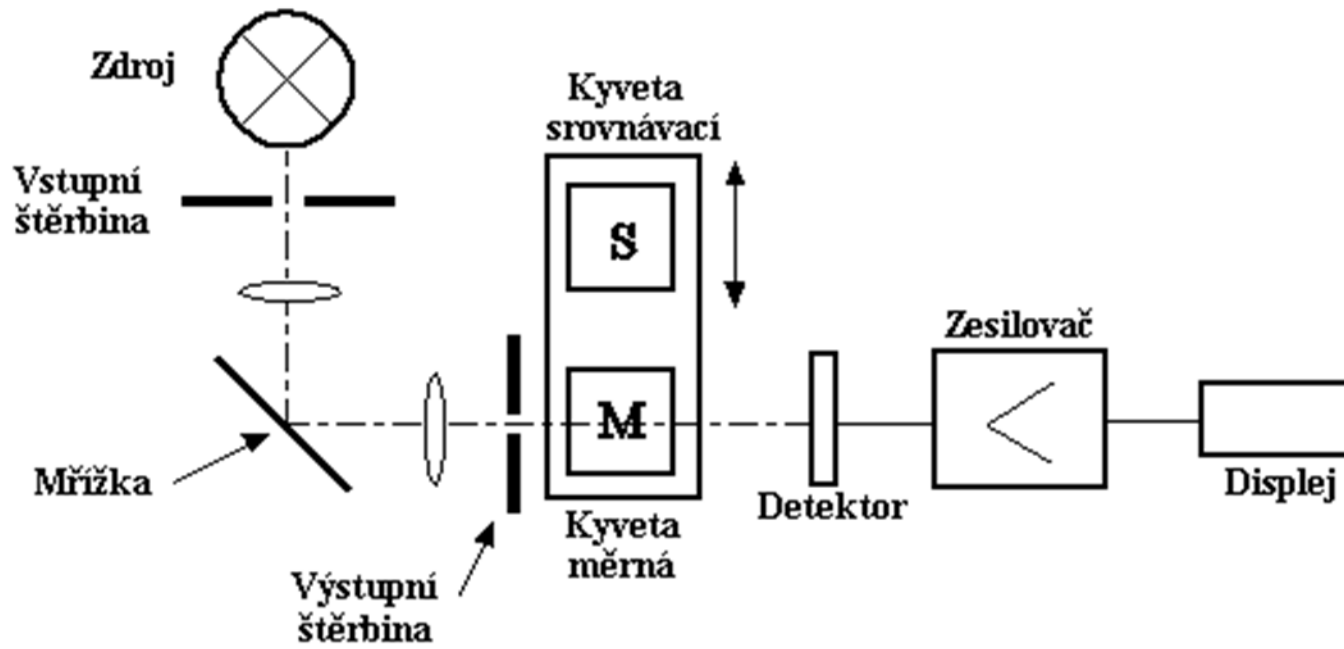
- $I_0$  a  $I$  - paprsek prošlý referenčním vzorkem (blankem) a vzorkem měrným
- $100 \cdot I/I_0 = T$  (%), transmittance
- $A = -\log T = \log I_0/I$
- Pro 50%  $T$ ,  $I_0/I = 2$
- $A = 0,3$  – nejpřesnější
- Spolehlivý rozsah  $A$  –  $0,2$  –  $0,7$

# Instrumentace



- Hlavní součásti jednoduchého přístroje

# Instrumentace



- Blokové schéma spektrofotometru

# Instrumentace

- Obecné použití
  - Víceúčelové
  - Speciální varianty v jednotlivých částech obecného schématu – viz dále
- Speciální užití
  - Jednoúčelové – denzitometry, scanery apod.
  - Detektory – součásti jiných zařízení
  - Variace na obecné schéma

# Instrumentace

- Přístroje jednodušší
  - Kolorimetry, fotometry
  - Filtry, detektory - vizuální
- Kvalitnější – spektrofotometry
  - Monochromátory složitější
  - Světlovodná vlákna – citlivost, eliminace rozptylu
  - Parametry kvality – viz dále
  - Speciální vybavení a konstrukce (seriová měření – průtokové kyvety, destičky apod.)

# Zdroje

Rozsah a intenzita emitovaného záření  
vyzařovací charakteristika  
volba zdroje

Rtuťová výbojka – UV spektrum

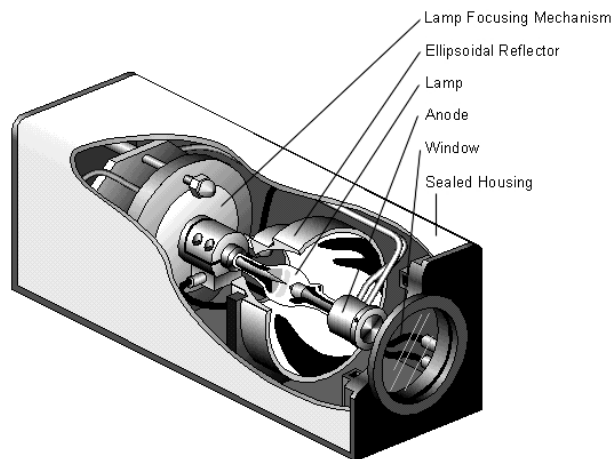
Halogenová žárovka – viditelné spektrum

Laser – monochromatické

LED

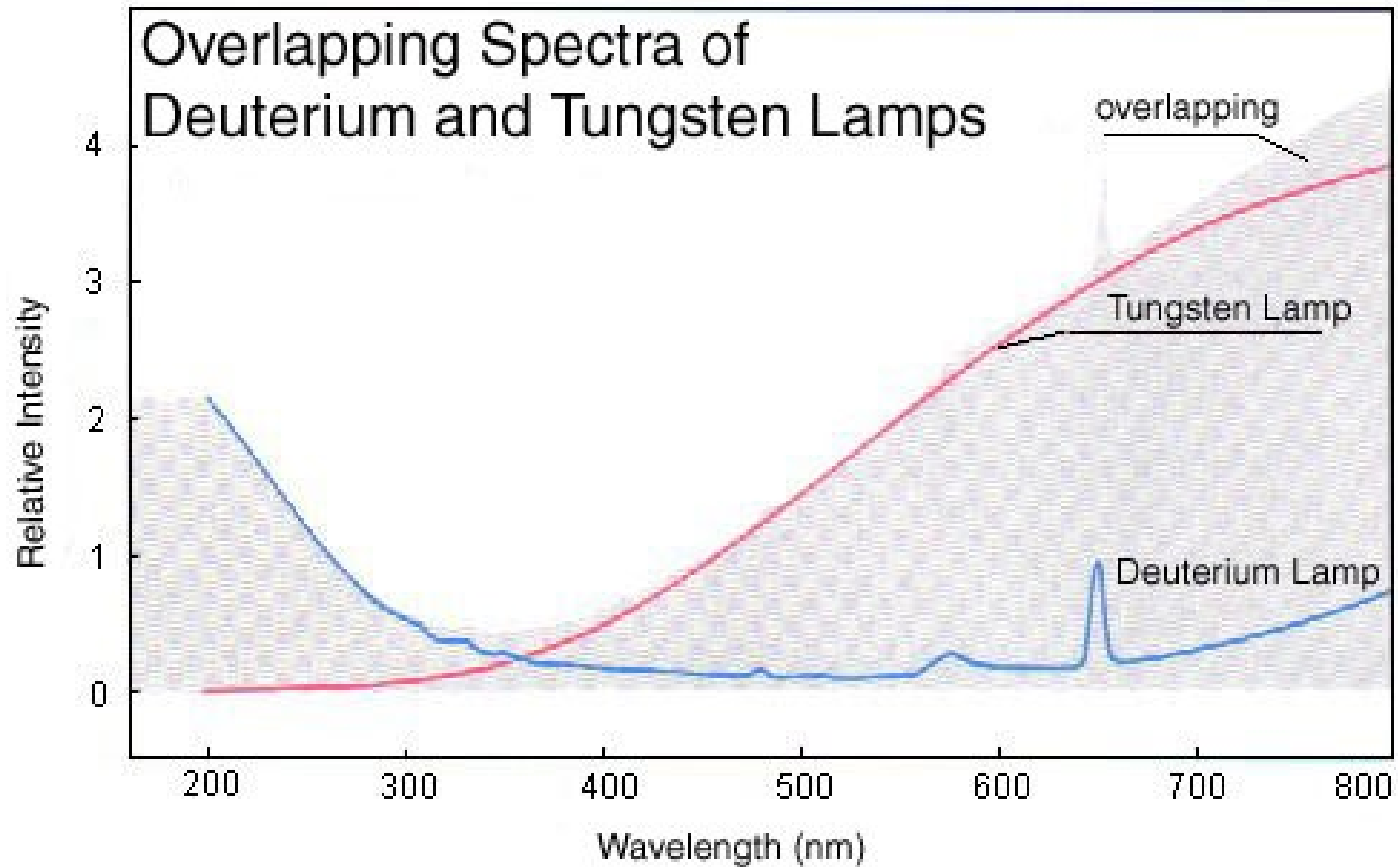


Deuteriová lampa – UV spektrum

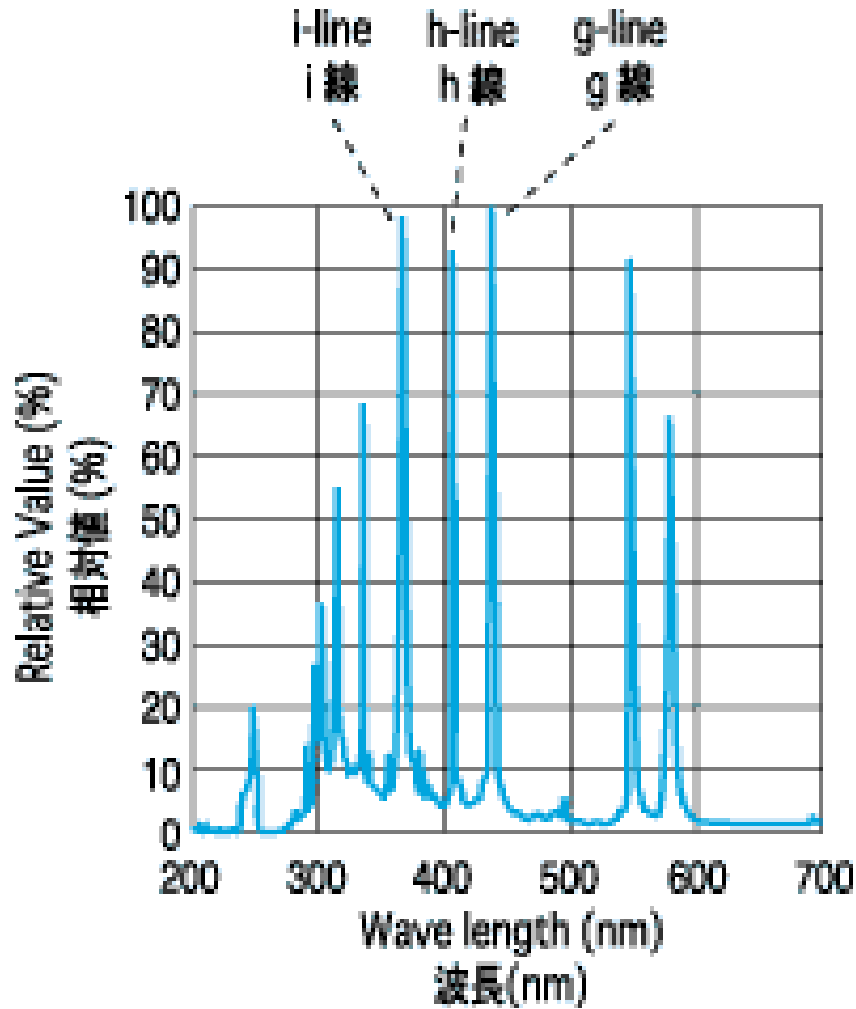


Xenonová výbojka – UV + viditelné spektrum

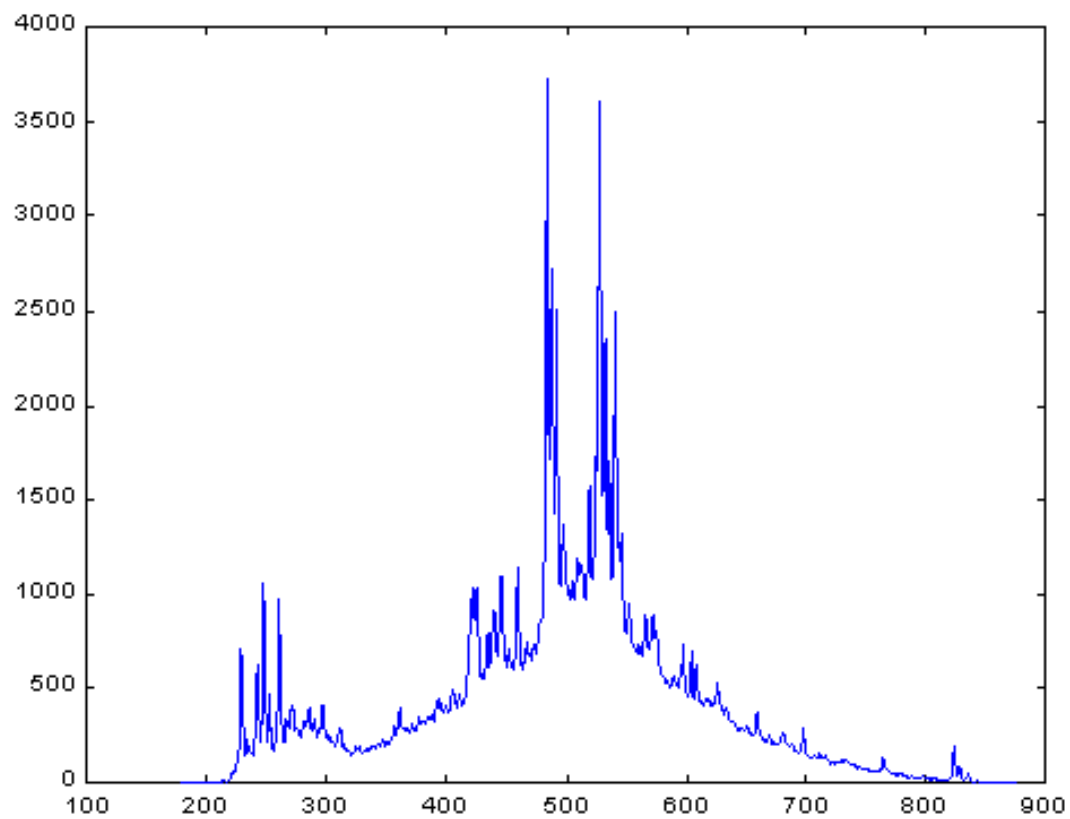
# Overlapping Spectra of Deuterium and Tungsten Lamps



# Rtuťová výbojka

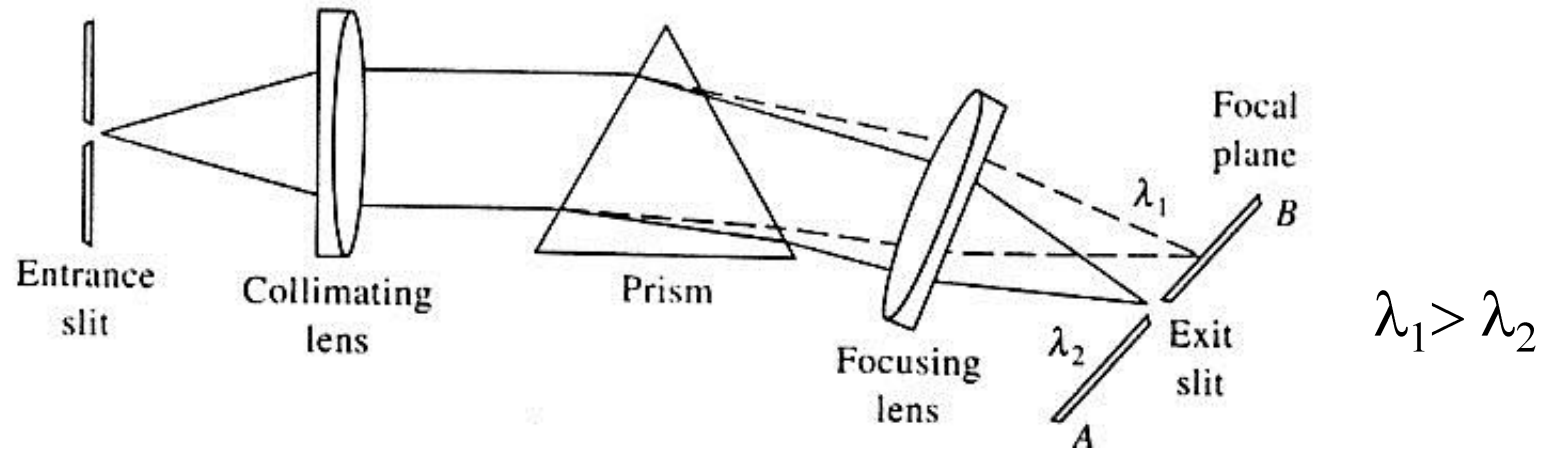


# Xenonová výbojka



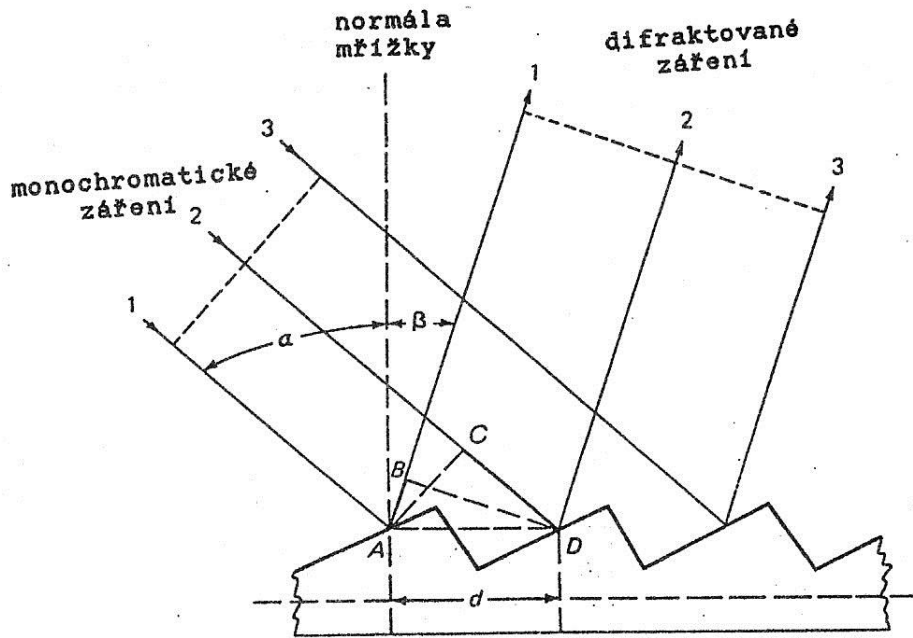
# Monochromátory

- Filtry – kvalita (barevné x interferenční)
- Hranol – lom světla



# Monochromátory

- Mřížka – disperze



$$n\lambda = CD - AB$$

$$n\lambda = d(\sin\alpha - \sin\beta)$$

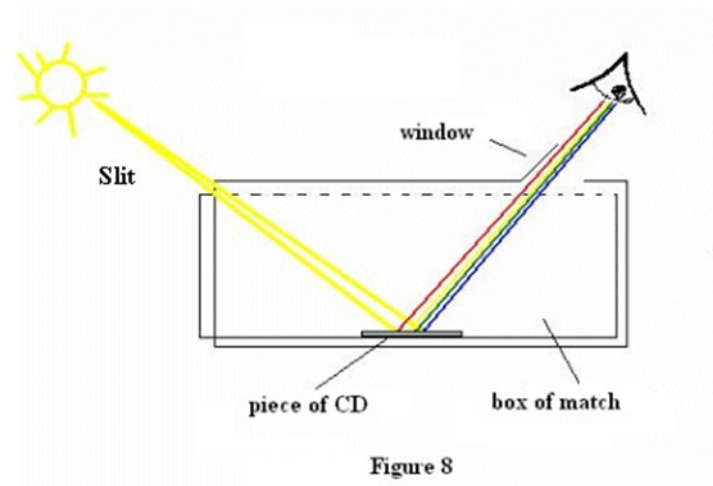
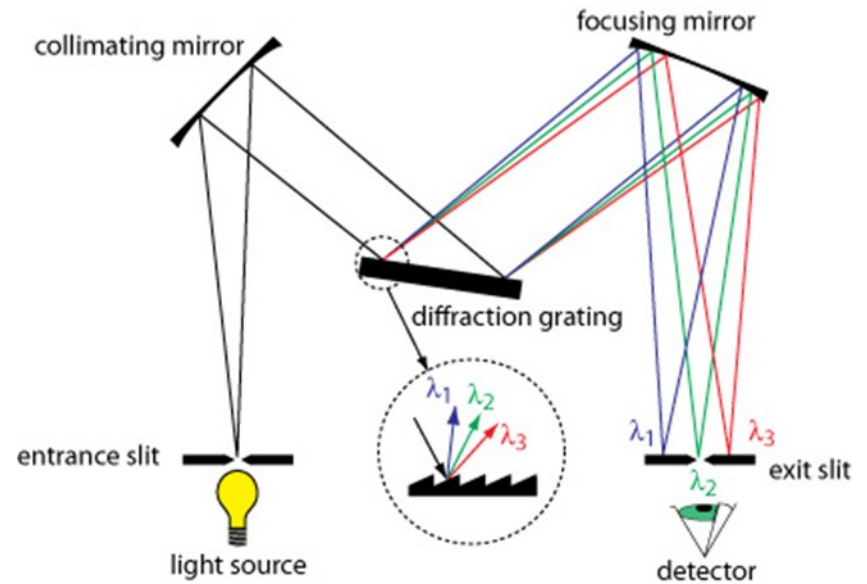
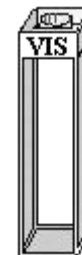
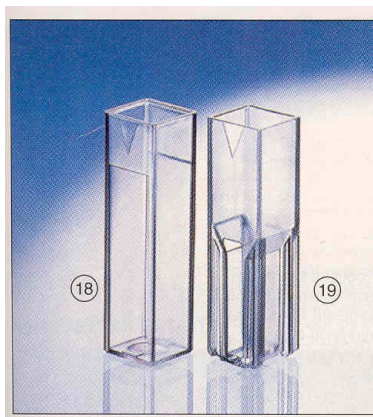
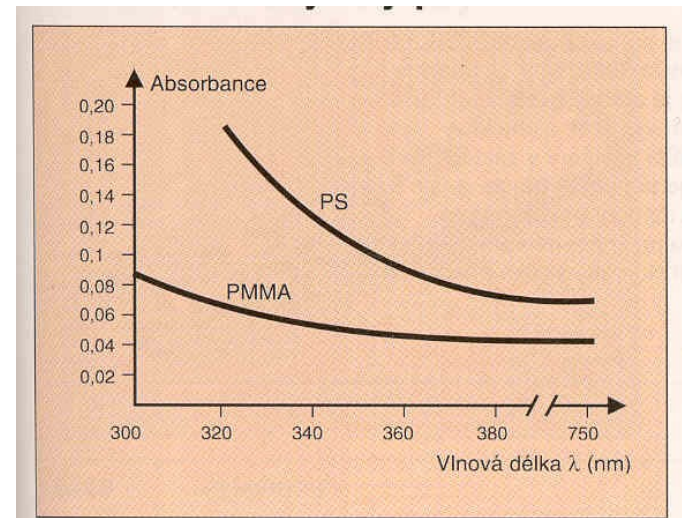
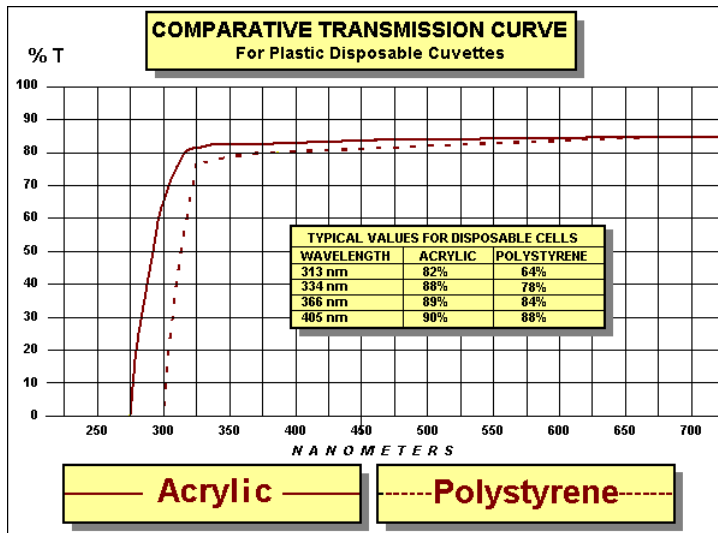


Figure 8

# Vzorek

- Obecné – standartní kyvety
  - Variace – Thunbergovy, Dewarovy apod.
- Speciální
  - Průtokové kyvety
  - Destičky – vícekanálové
  - Štěrbiny – mikroobjemy

# Spektrofotometrické kyvety



# Spektrofotometrické kyvety



- A



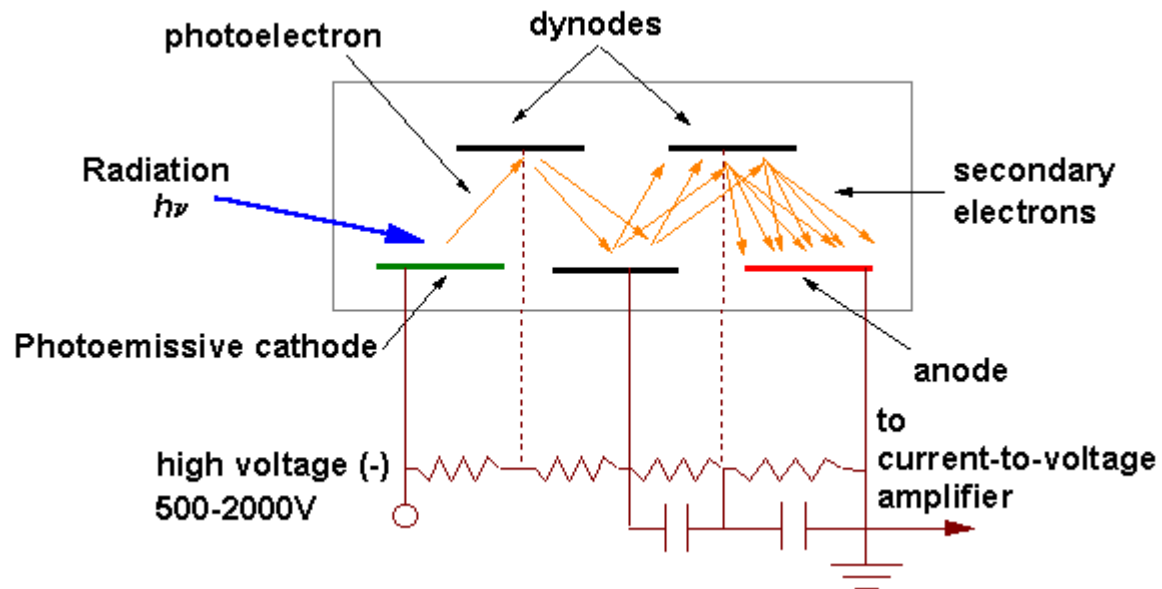
# Rozpouštědla

## Použitelnost rozpouštědel v UV oblasti

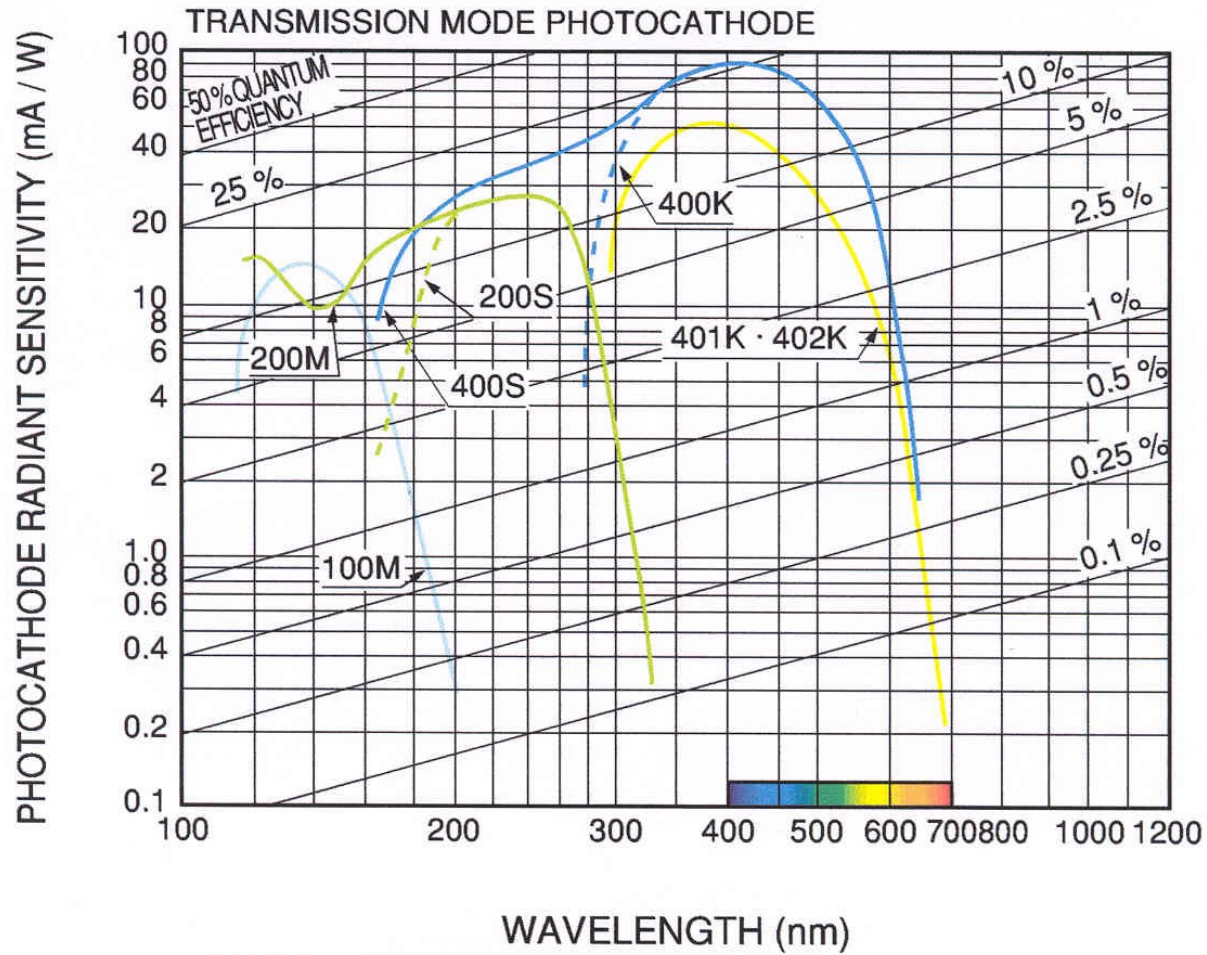
Voda	> 185 nm
EtOH	>195 nm
Diethyléter	>205 nm
Dioxan	>220 nm
CHCl <sub>3</sub>	>245 nm
CCl <sub>4</sub>	>262 nm
Benzen	>280 nm
Aceton	>330 nm

# Detektory

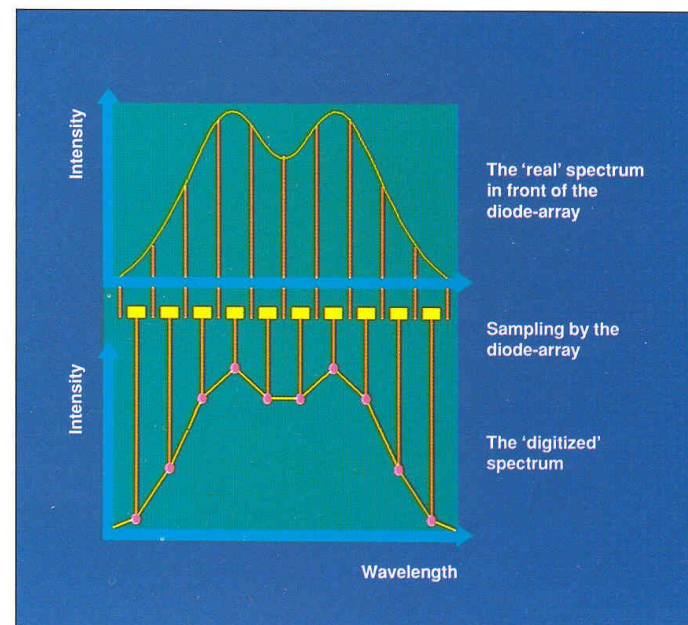
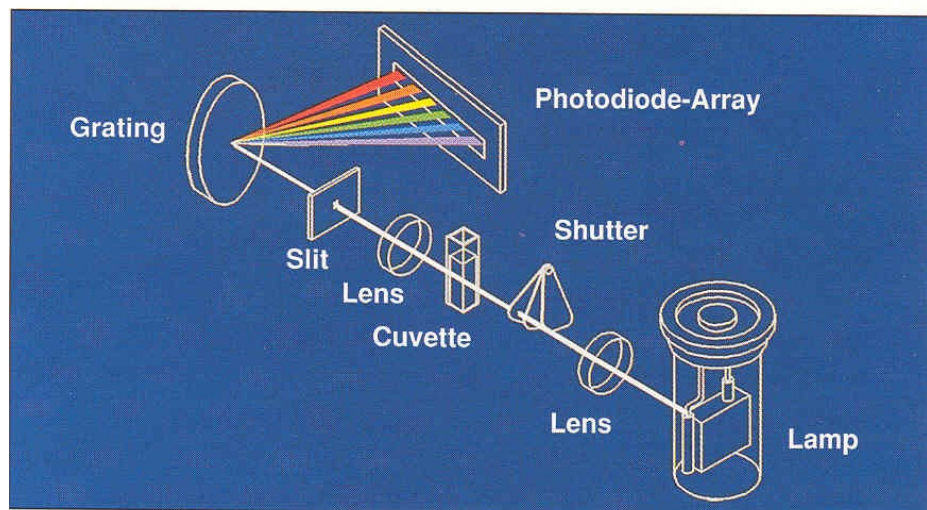
## Fotonásobič



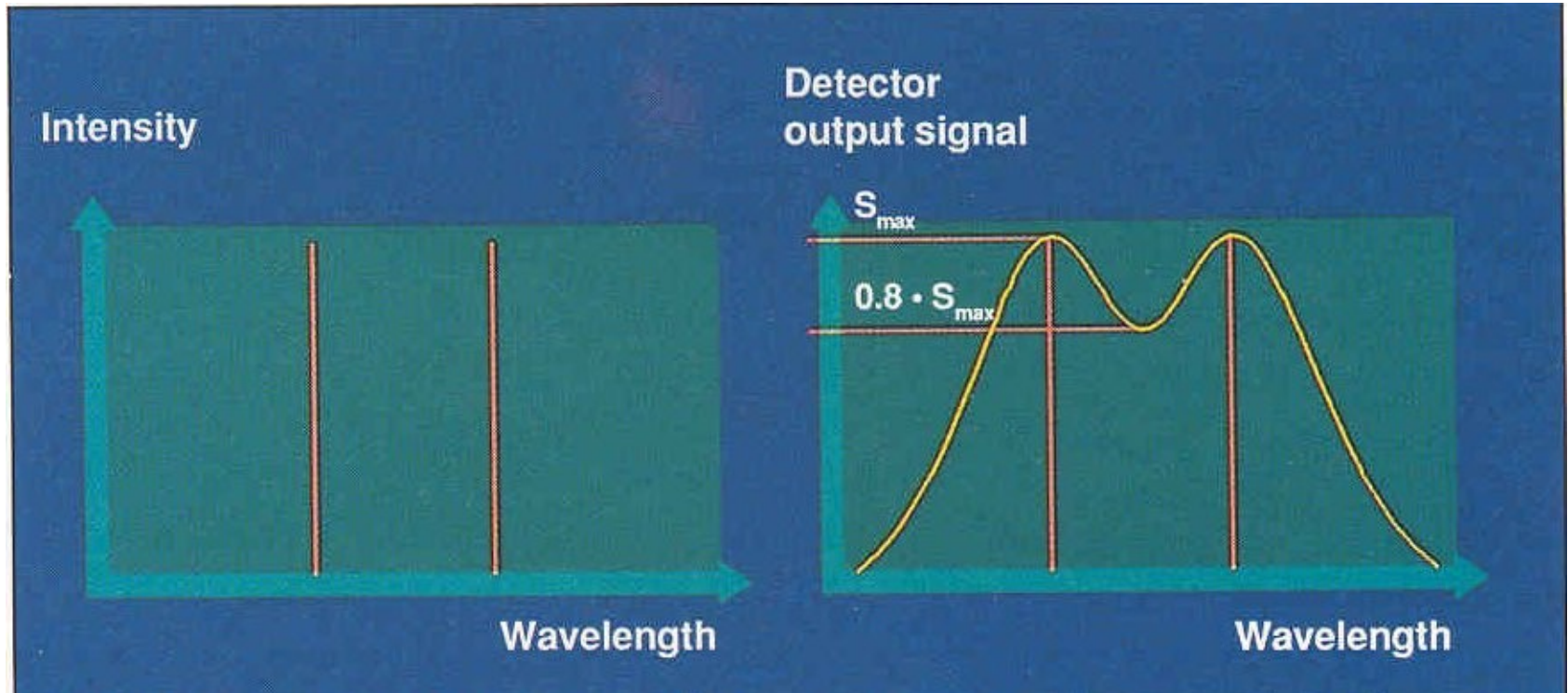
# SEMITRANSSPARENT PHOTOCATHODE SPECTRAL RESPONSE CHARACTERISTICS



# Fotometr s diodovým polem



# Charakteristiky přístroje



Spektrální rozlišení – schopnost rozlišit dvě těsně přilehlé vlnové délky

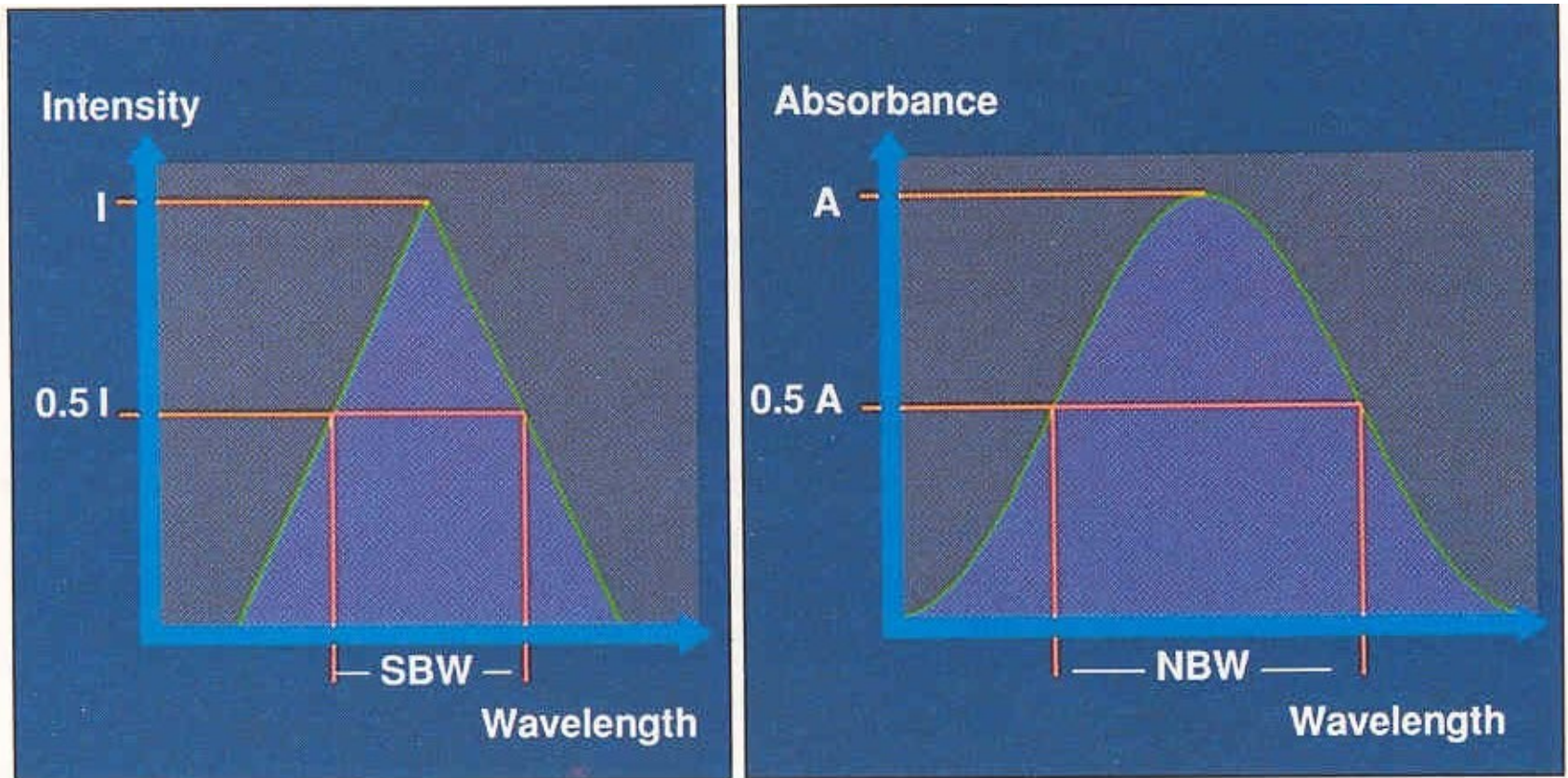
Rozlišení  $\times$  rozlišovací schopnost – nepřímé

$S = 0,8 \times S_{max}$  – pro určitou  $\Delta\lambda =$  rozlišení

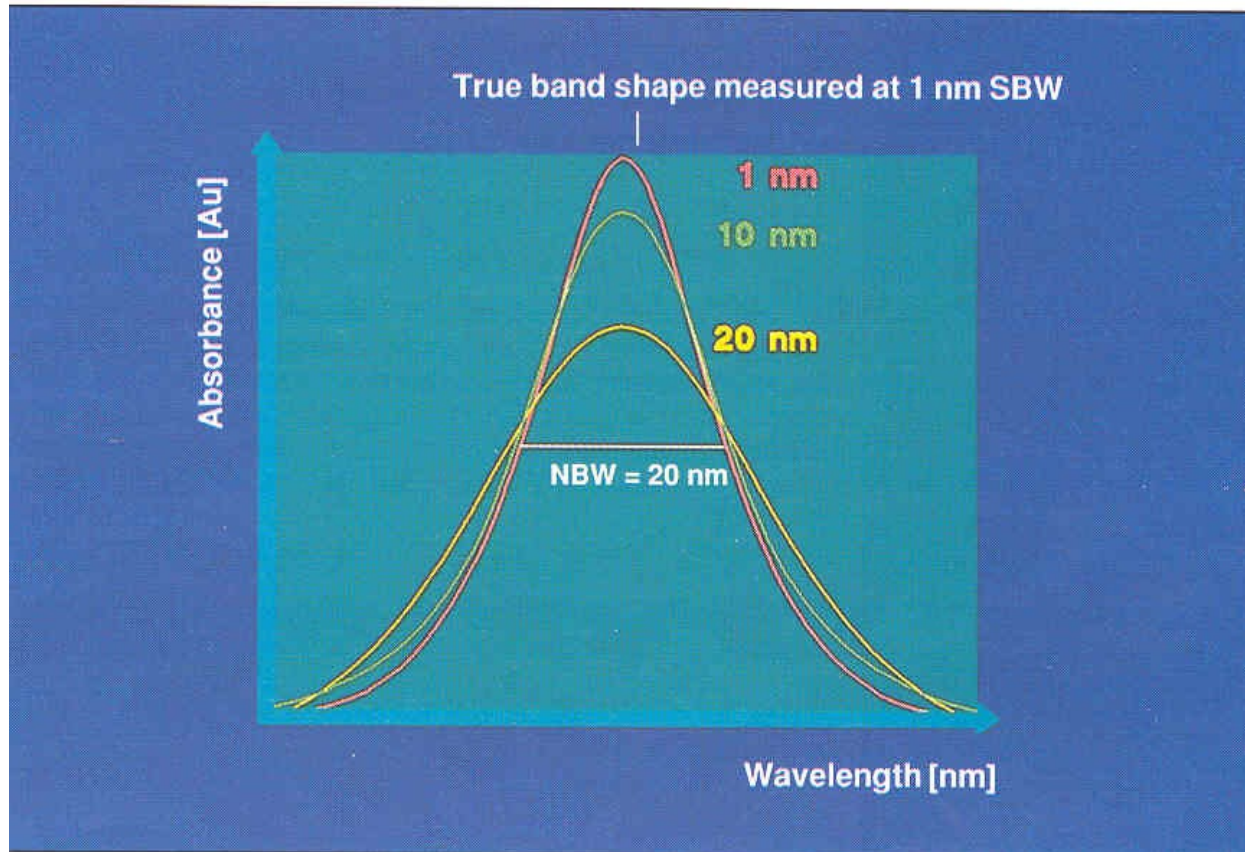
# Charakteristiky přístroje

Spektrální šířka přístroje – šířka pásu světla opouštějícího monochromátor měřená v polovině výšky píku (SBW), závisí na šířce štěrbin a disperzi mřížky, Obvykle  $< 2 \text{ nm}$

Přirozená šířka pásu vzorku - šířka absorpčního pásu vzorku měřená v polovině výšky píku (NBW) – ovlivněno SBW – monochromaticnost

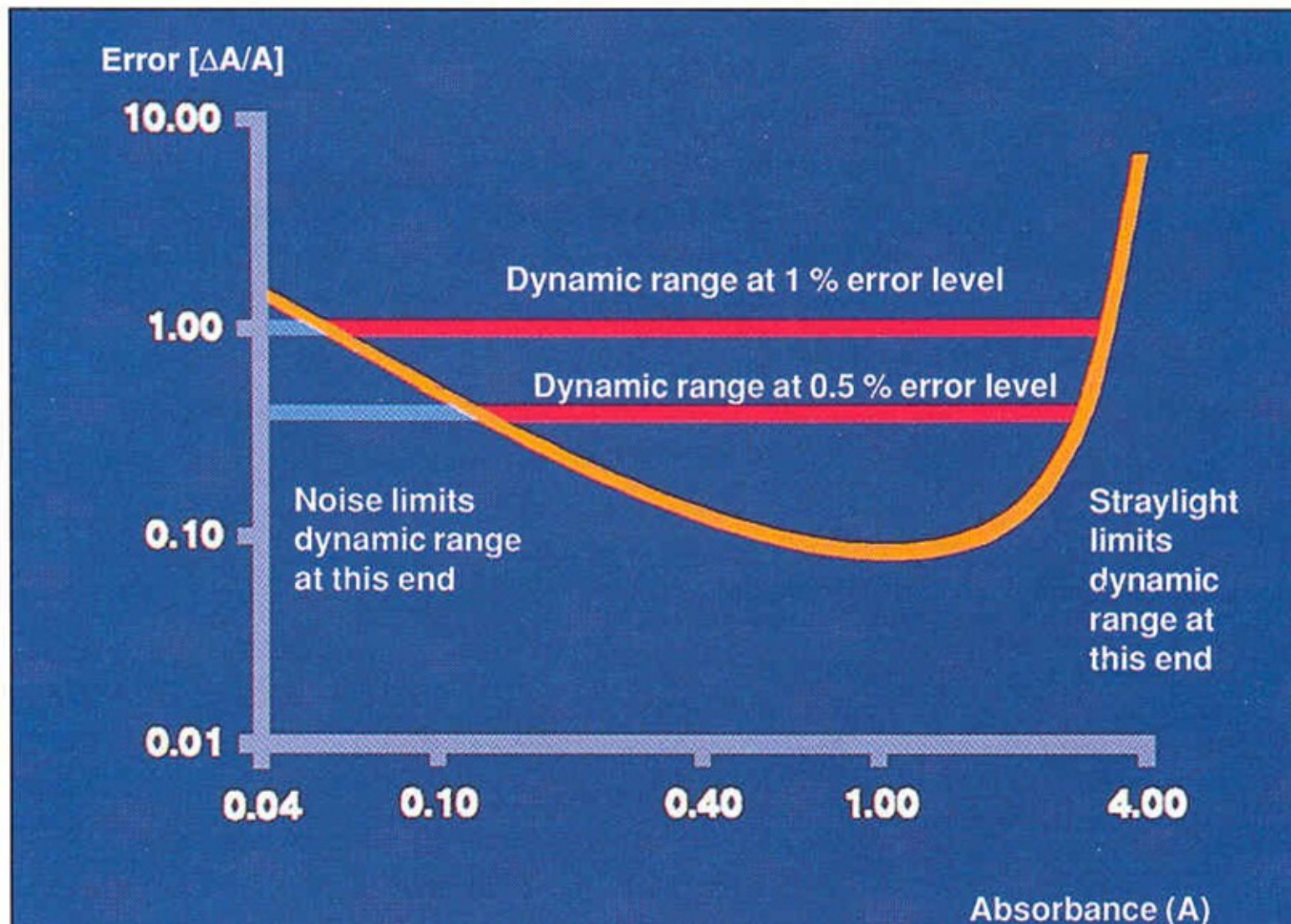


# Charakteristiky přístroje



Přesnost měření závisí na poměru  $SBW/NBW = 0.1$  a menší (přesnost 99.5%)  
SBW 2 nm postačuje pro NBW 20 nm

# Chyba měření



- Chyba  $\Delta A/A$  – limit šumu a rozptylu

# Praktické aplikace

- Stanovení koncentrací látek
  - Obecně – bílkoviny, NK
  - Speciálně – Hb, cytochromy
- Stanovení forem látek
  - Ox-red – titrace,  $E_m$ , disociační stavy -  $pK_a$
- Určení změny koncentrace
  - Rychlost reakcí – enzymové ( $NAD^+$ , umělé)
- Detektor pro jiné metody – spřažené

# Stanovení bílkovin

Absorpce v UV oblasti (Tyr, Try) – 280 nm

Citlivost 50  $\mu\text{g}$

Velmi rychlá metoda, nedestruktivní

Interference: ruší NK, zákal

$$C \text{ (mg/ml)} = f(A_{280})$$

$$C \text{ (mg/ml)} = A_{280}/\varepsilon$$

$$C \text{ (mg/ml)} = 1,55 \cdot A_{280} - 0,76 A_{260}$$

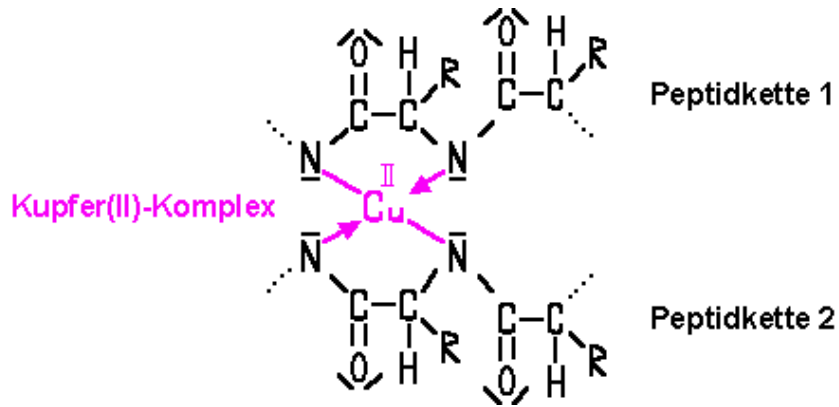
$\varepsilon$  (ml/mg)

BSA = 0,63

Ig = 1,38

Ovalbumin = 0,70

# Stanovení bílkovin



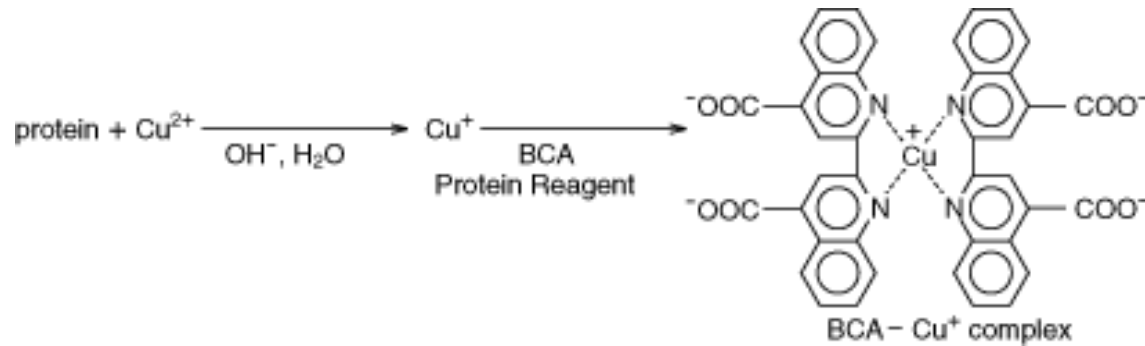
## Biuretová metoda

Citlivost 1-20 mg  
Interference: některé aminokyseliny,  
zwiterionty

## Lowryho metoda (595 nm)

Citlivost 10  $\mu\text{g}$   
Zdlouhavost (2kroky)  
Interference: ruší sulfát amonný, glycin,  
SH reagenty, EDTA > 0.1 mM

# Stanovení bílkovin



562 nm

Bicinchoninát

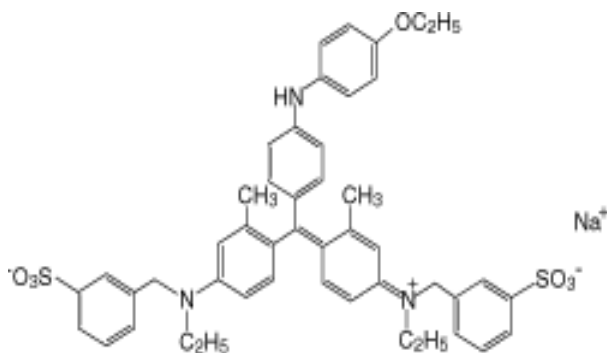
Redukce Cu<sup>2+</sup>, pak komplex

Citlivost vysoká 1 ug

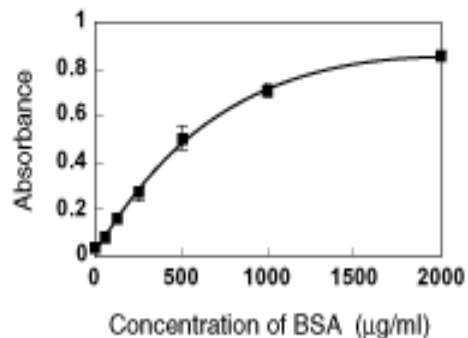
Pracná metoda – 2 kroky

Interference: ruší EDTA, SH reagenty

# Stanovení bílkovin



Coomassie Brilliant Blue G



BSA standard solutionで作成した検量線の例

Posun maxima  
Ze 465 na 595 nm

Metoda podle Brafordové

Citlivost vysoká 1 ug

Rychlá metoda (náročná na pečlivost)

Interference: ruší Triton X-100, SDS,

Silně bazické pufrы

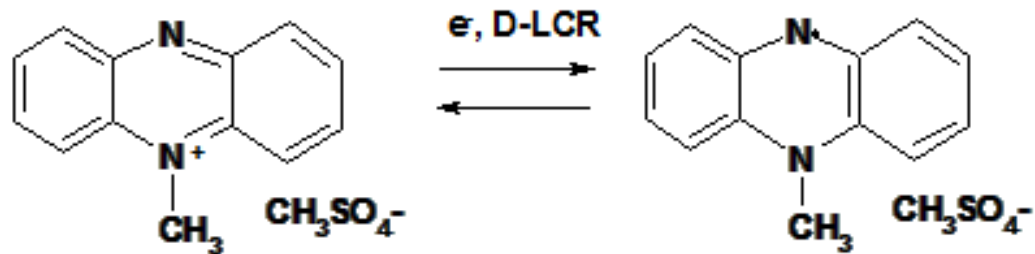
# Enzymové reakce

- Přírozené chromofory
  - Především oxidoredukce -  $\text{NAD}^+$ , cytochromy
- Umělé chromofory
  - Oxidoreduktasy – barviva (PMS, tetrazolia)
  - Hydrolasy – estery, amidy
- Derivatizace produktů
  - Ketokyseliny + dinitrofenylhydrazin

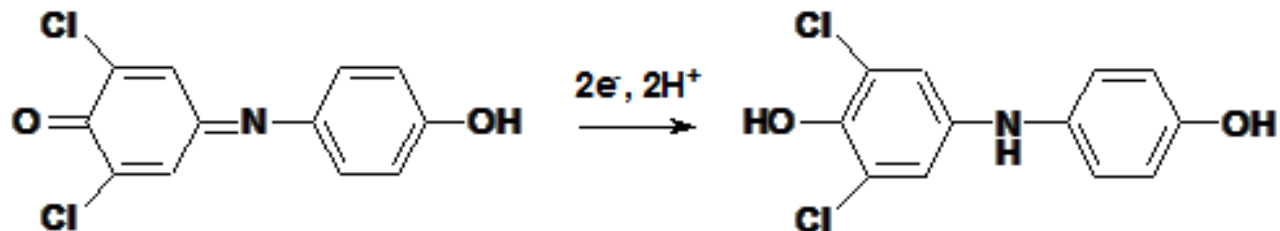
# Oxidoreduktasy

- PMS – DCIP

PMS:

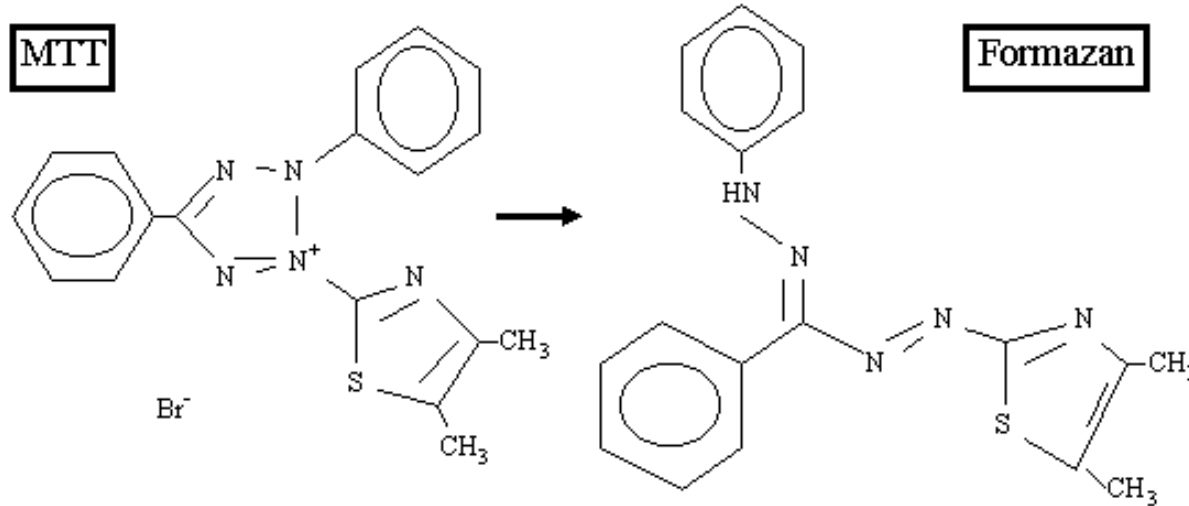


DCIP:



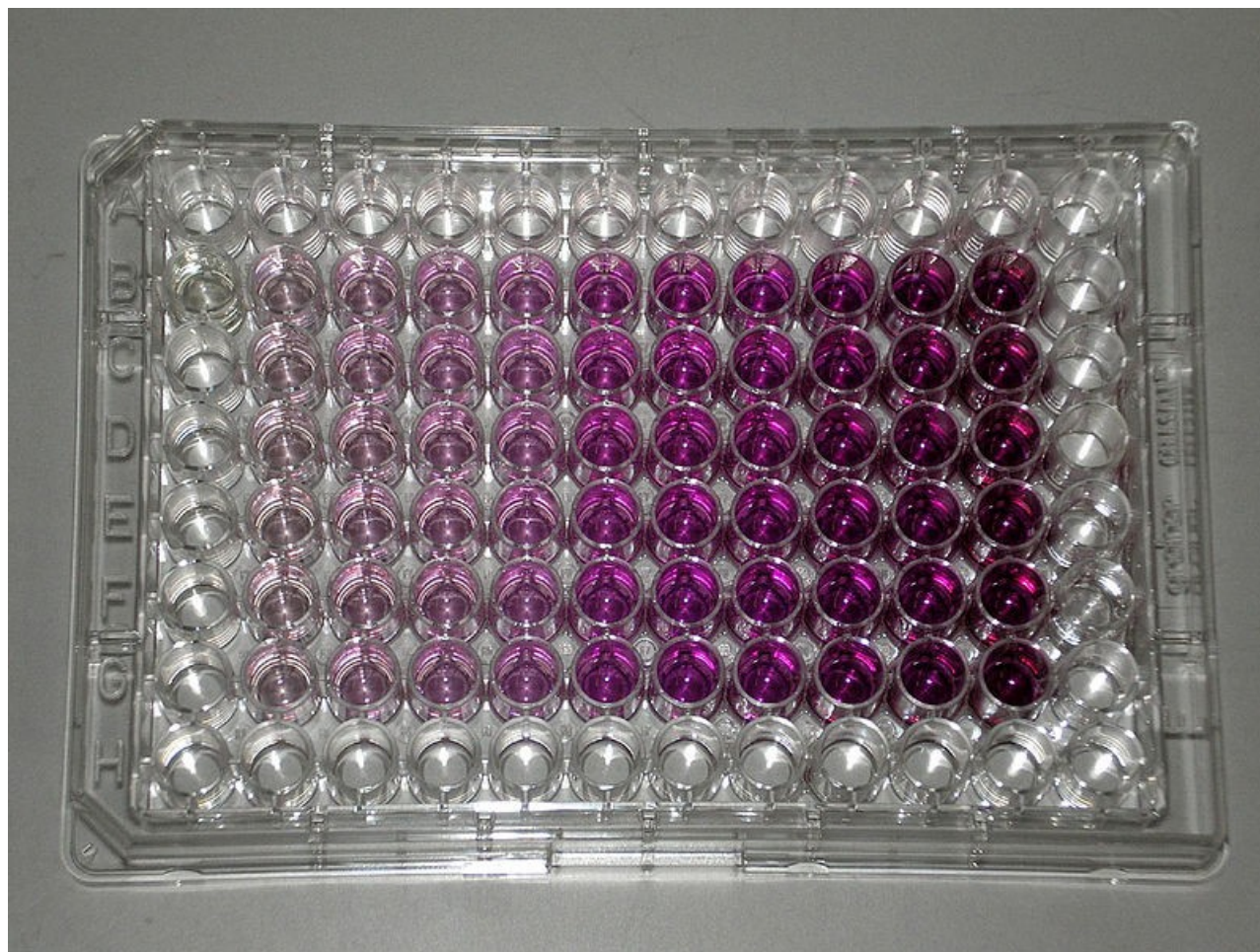
# Oxidoreduktasy

- MTT test
  - Viabilita a metabolická aktivita buněk
  - Produkt redukce cytosolickým NAD(P)H



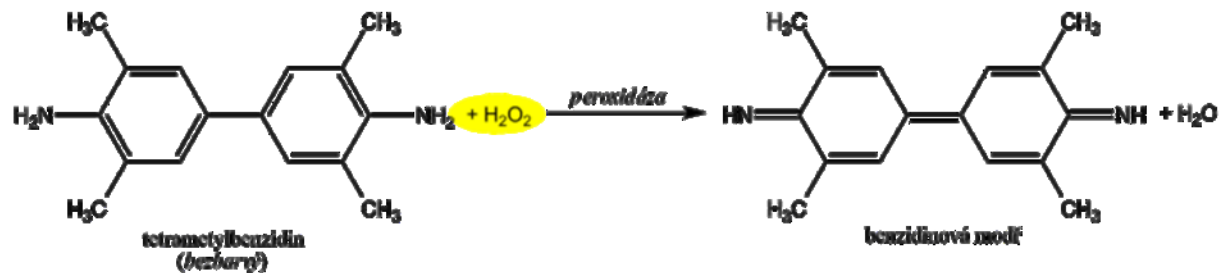
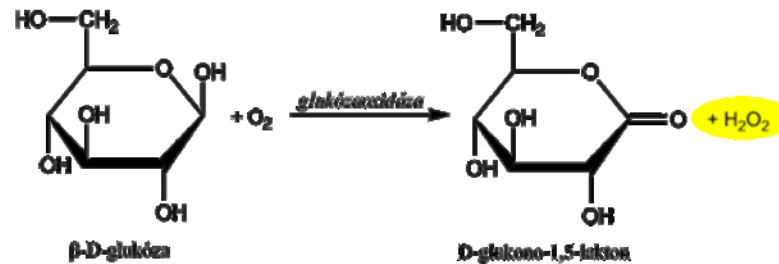
# MTT test

- Mikrotitrační destička



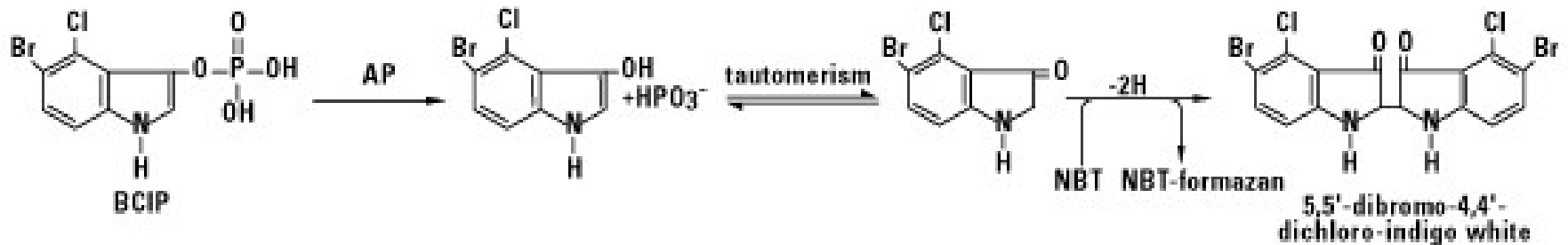
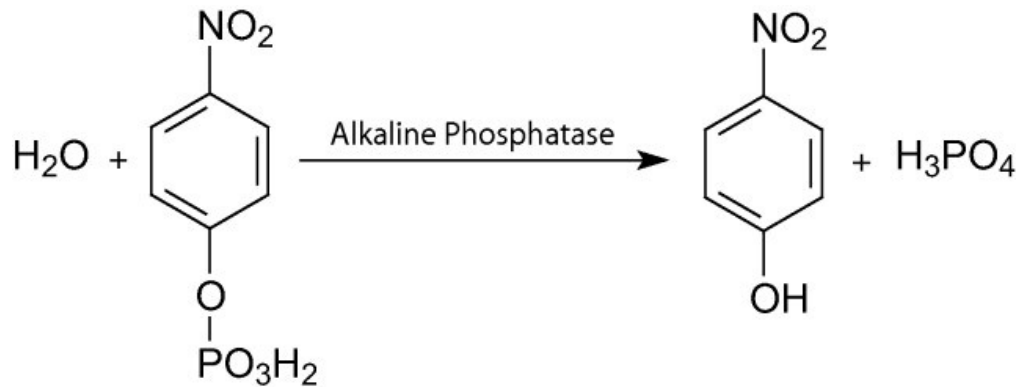
# Oxidoreduktasy

- Indikační reakce



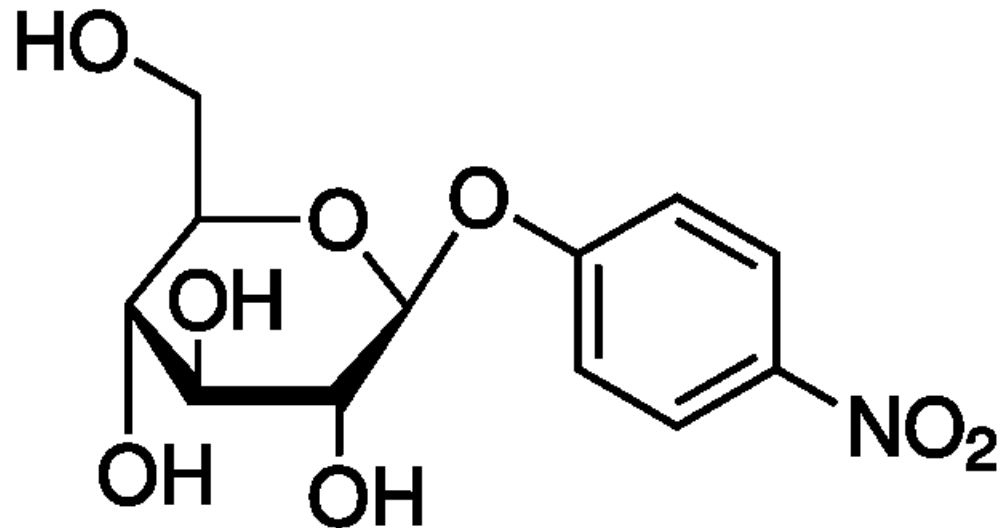
# Chromogenní substráty

- Fosfatasy

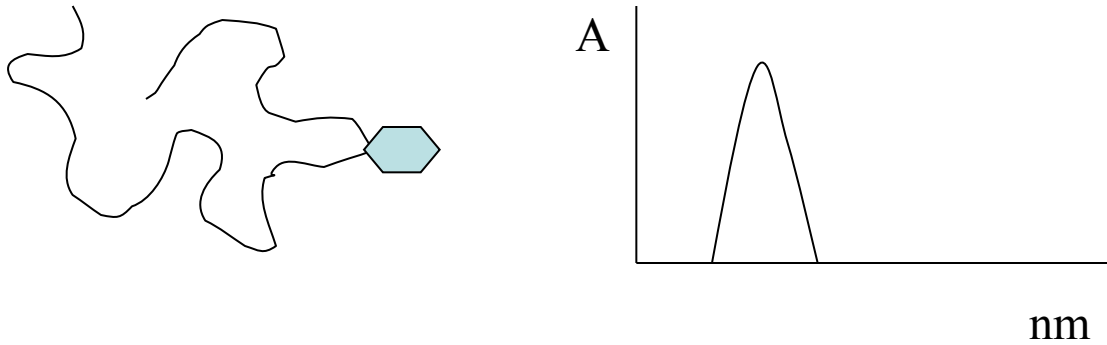


# Chromogenní substráty

- Glykosidasy



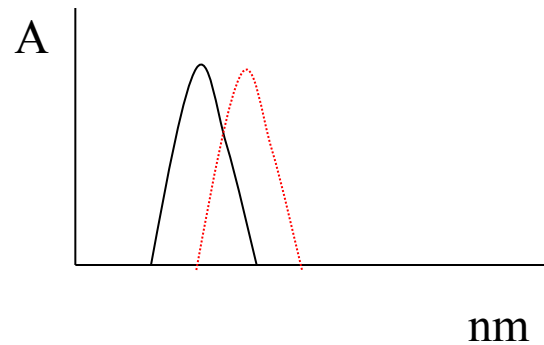
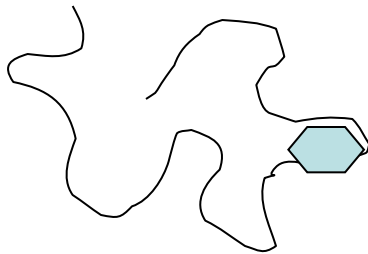
# Použití spektroskopie pro studium konformace bílkovin



Fluorescence Try, Tyr – 280 nm

Závislost spektra na polaritě prostředí – zde polární

# Použití spektroskopie pro studium konformace bílkovin



Fluorescence Try, Tyr – 280 nm

Závislost spektra na polaritě prostředí (červený posun v nepolárním prostředí)

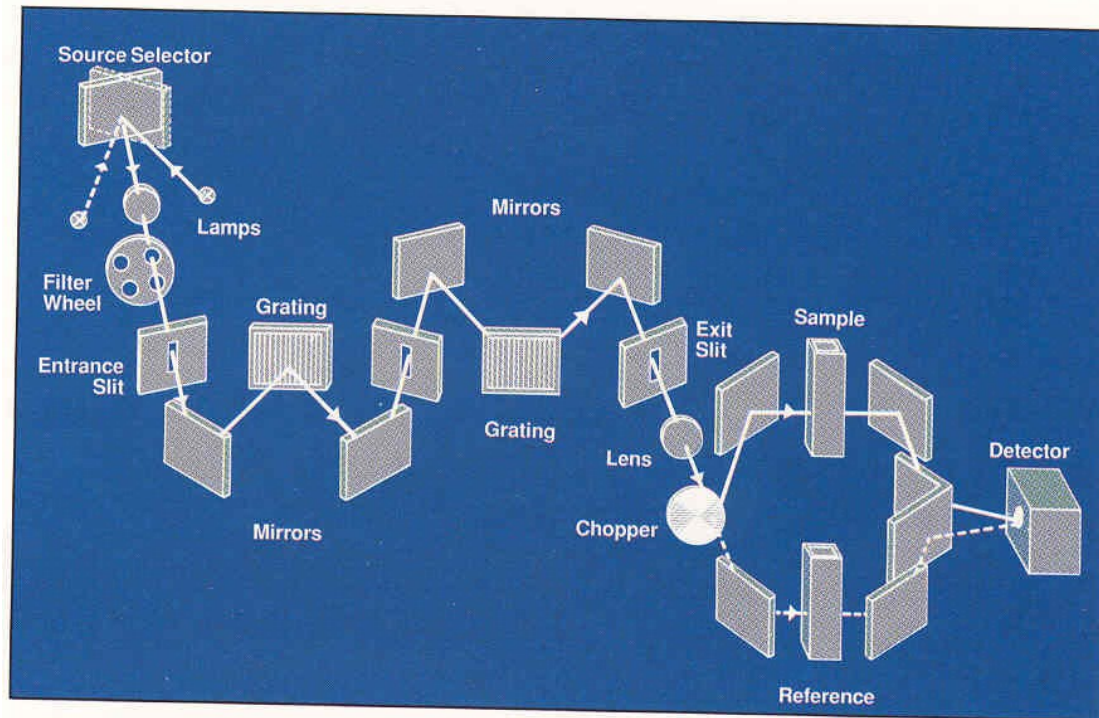
Perturbační spektra

Problém rozlišení malých změn na silném pozadí

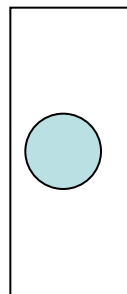
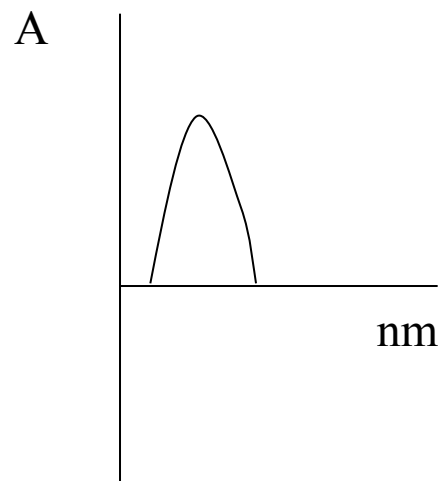
# Dvoupaprsková fotometrie (double-beam)

- Problém koherentního paprsku
- Štěpení časové – prostorové
- Současné měření referentního a měrného paprsku
  - Možnost porovnání – difference
- Náhrada počítačovým zpracováním
- Dual-wavelength
  - dva monochromátory
  - jeden vzorek

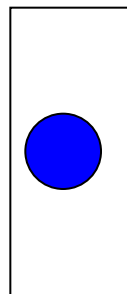
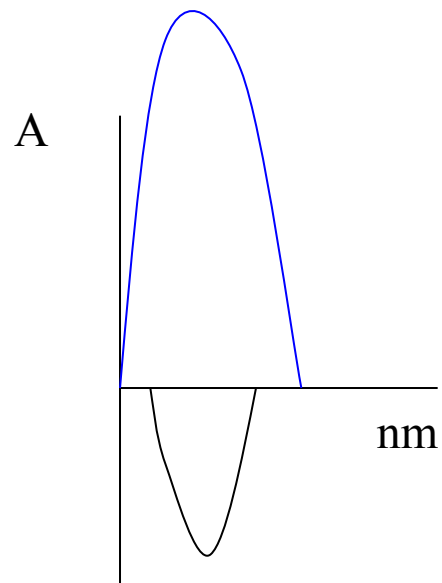
# Dvoupaprskový fotometr (double-beam)



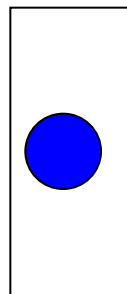
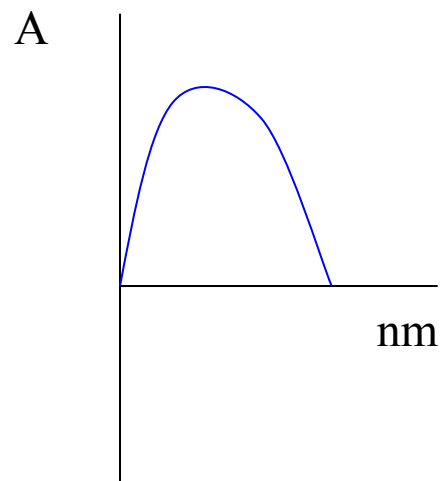
# Diferenční spektroskopie



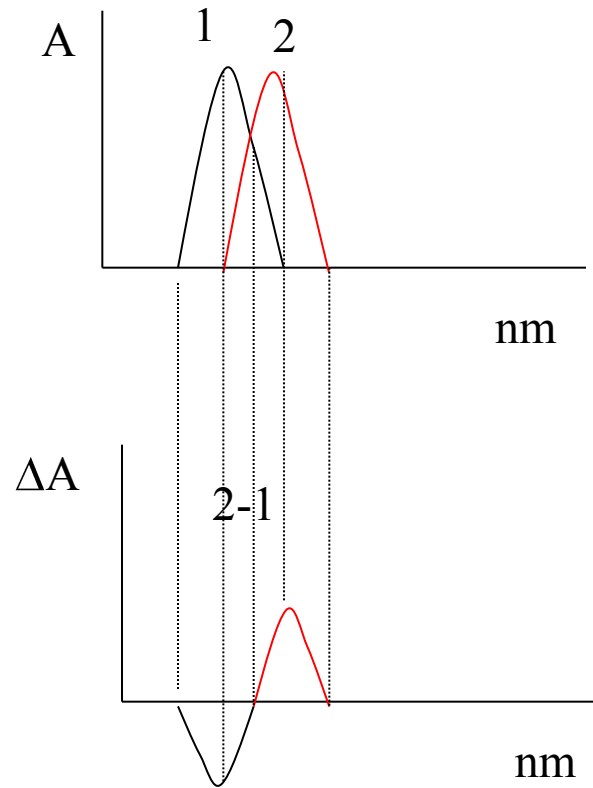
# Diferenční spektroskopie



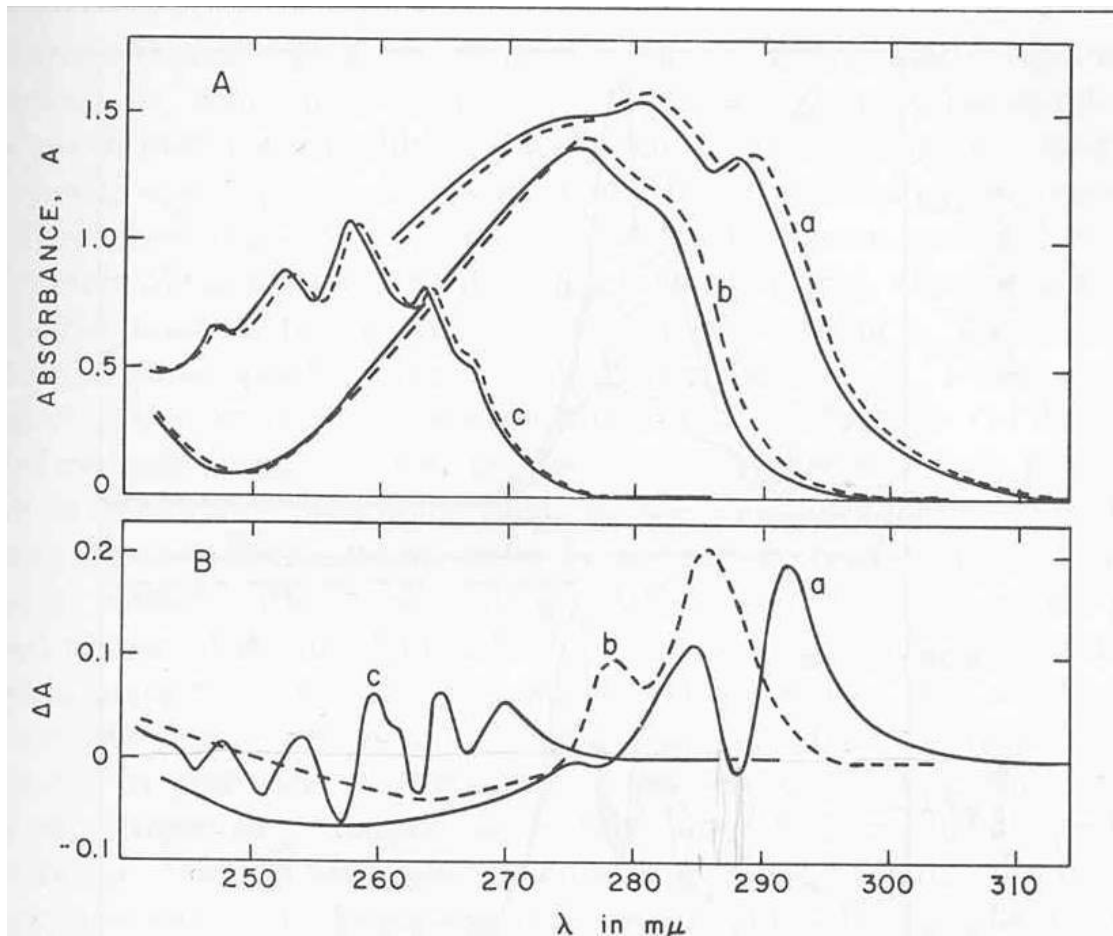
# Diferenční spektroskopie



# Diferenční spektrum



# Použití spektroskopie pro studium konformace bílkovin

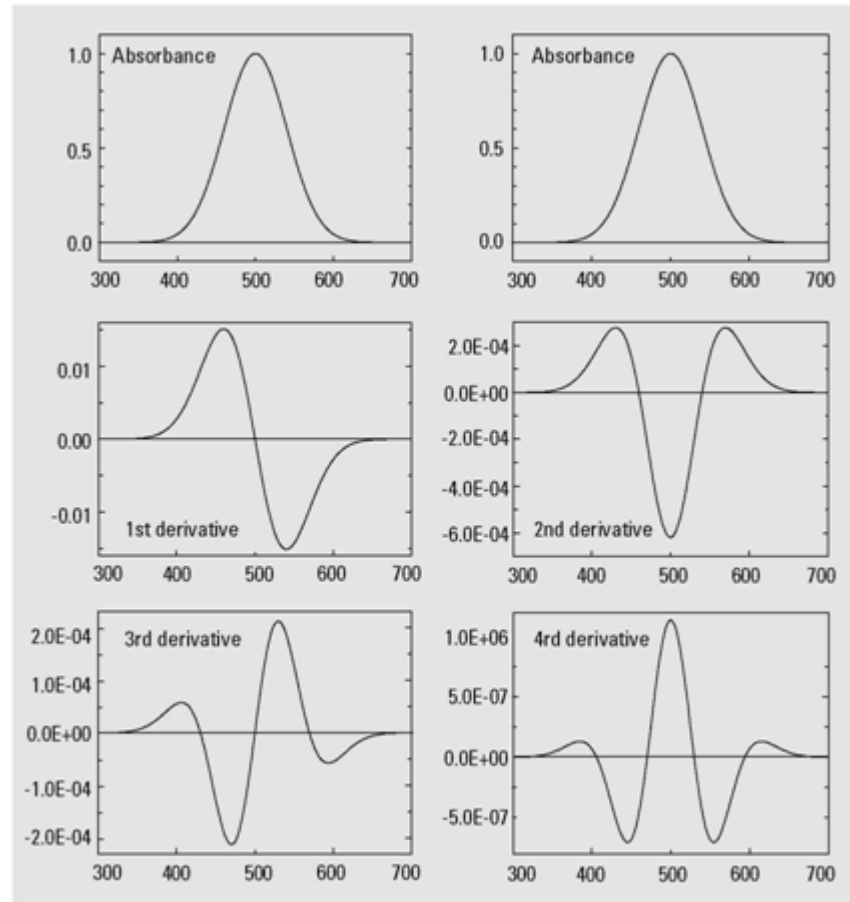


a – Try      —      voda  
b – Tyr      - - -      DMSO  
c - Phe

A – Absorpční spektrum

B – diferenční spektrum

# Derivace spekter



**Figure 1**  
Absorbance and derivative spectra of a Gaussian band

# Multikomponentní analýza

- Překryv pásů – aditivní charakter A
- Obálka jemných linií  $A = A(\lambda_1) - A(\lambda_2)$

